

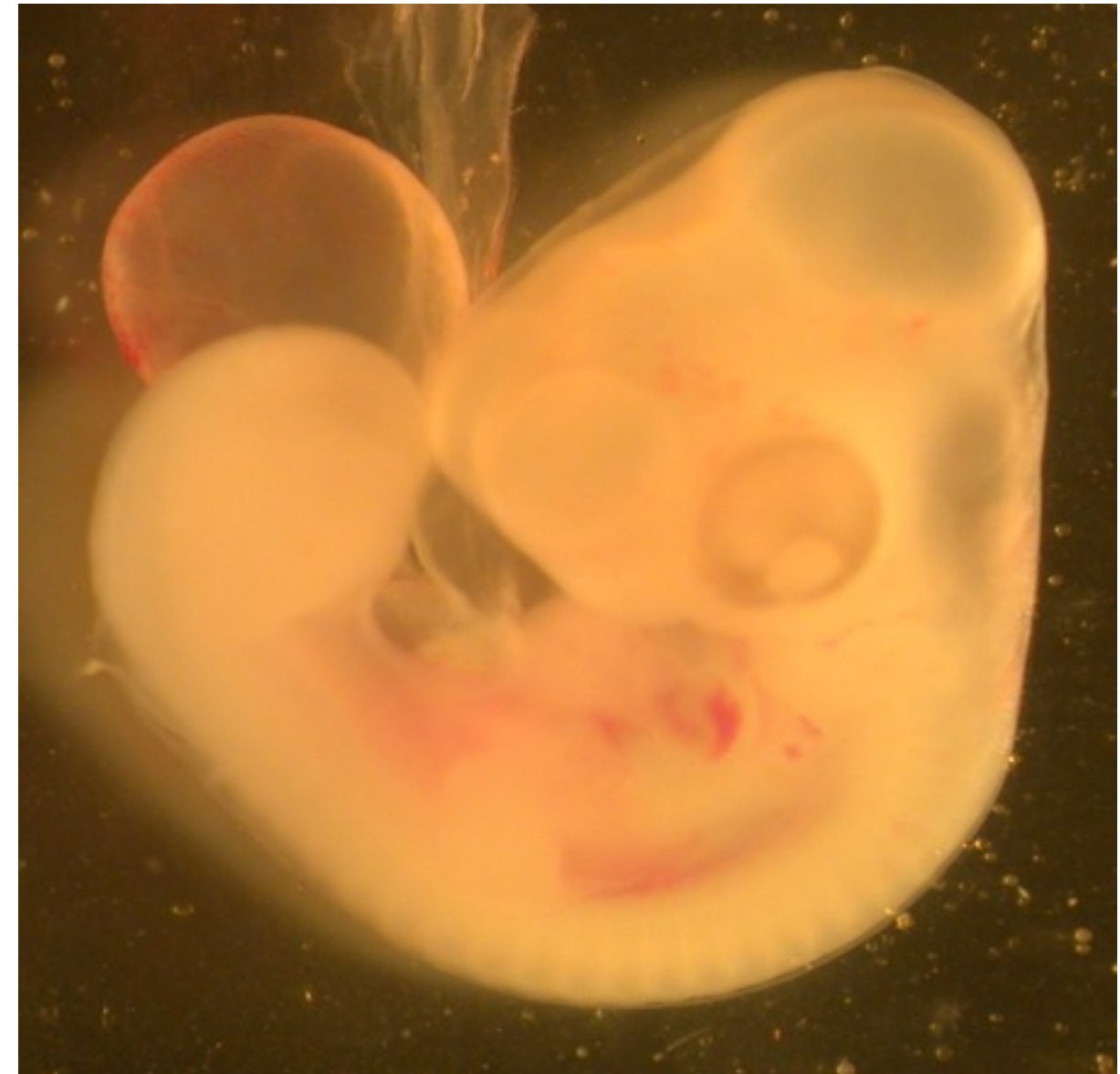
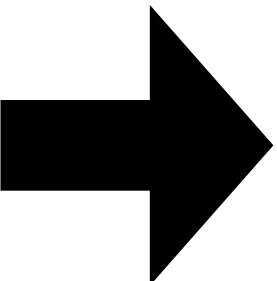
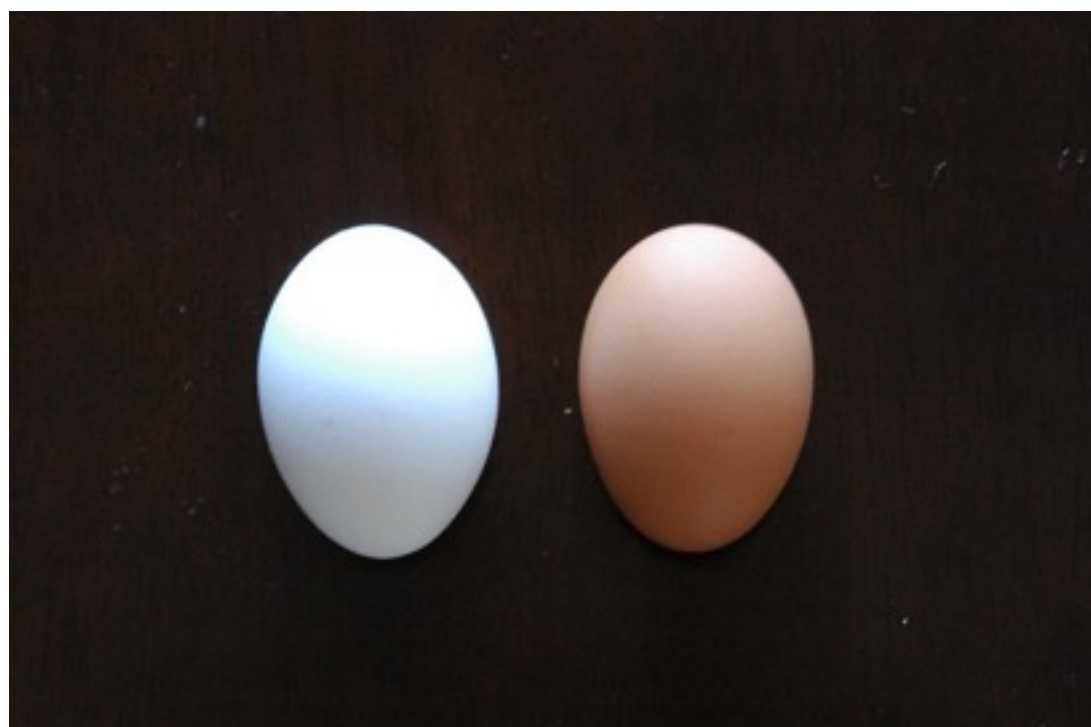
# 肺の枝分かれ構造の 数理モデル化と その実験的検証

三浦 岳, MD., Ph.D.,  
京都大学大学院医学研究科  
生体構造医学講座 形態形成機構学教室

# 生物のかたちは不思議



# 發生生物学



## 2. 滞在費・研究活動費

滞在費・研究活動費は、次の「一日当たりの滞在費・研究活動費」に基づいて計算したうえ、原則として6か月ごとに支給します。

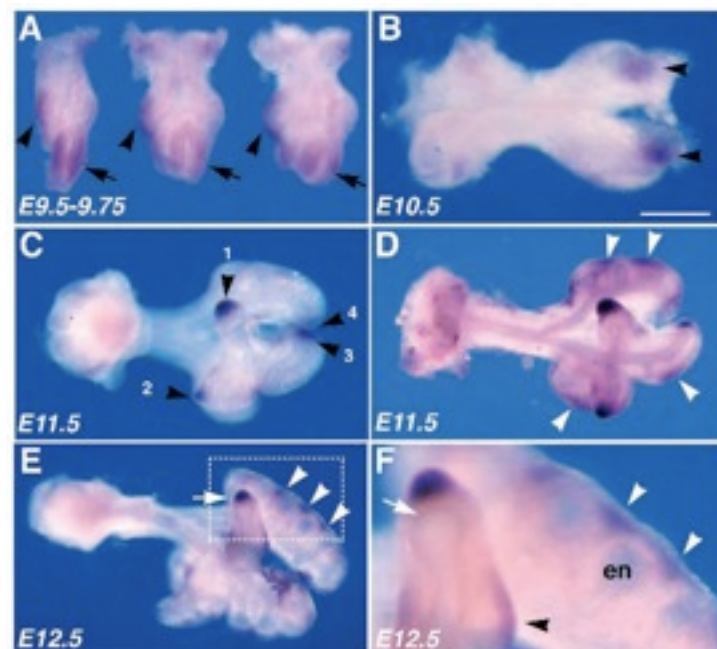
第1回目の送金先は、「派遣手続調書」(様式1)で指定された銀行口座、第2回目以降は「銀行口座届」(様式4)で指定された銀行口座です。

なお、派遣期間開始が年度当初(4月期)の場合、事務手続きの都合上第1回目の送金が派遣期間開始に間に合わないこともあります。あらかじめご承知おきください。

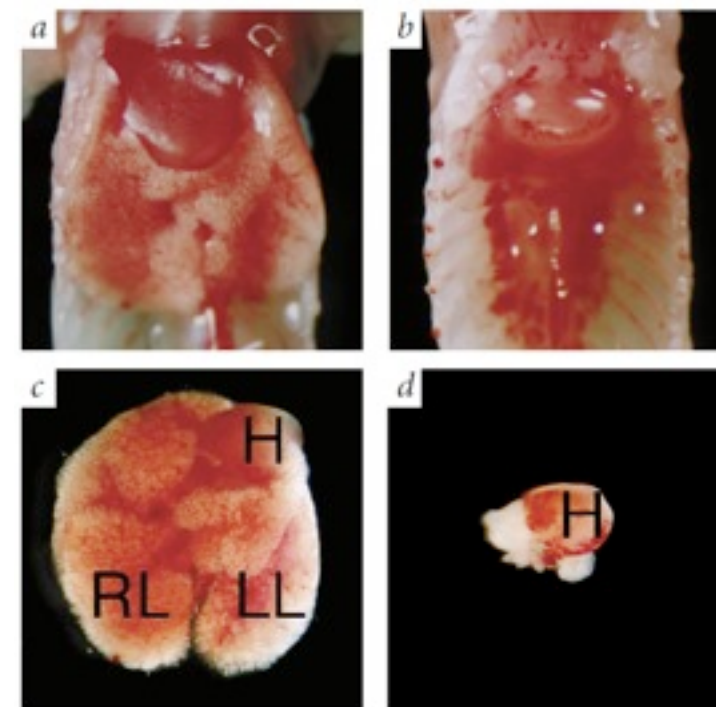
### (一日当たりの滞在費・研究活動費)

| 区分    | 滞在費・研究活動費 |
|-------|-----------|
| 甲 地 方 | 14,400円   |
| 乙 地 方 | 11,600円   |
| 丙 地 方 | 10,400円   |

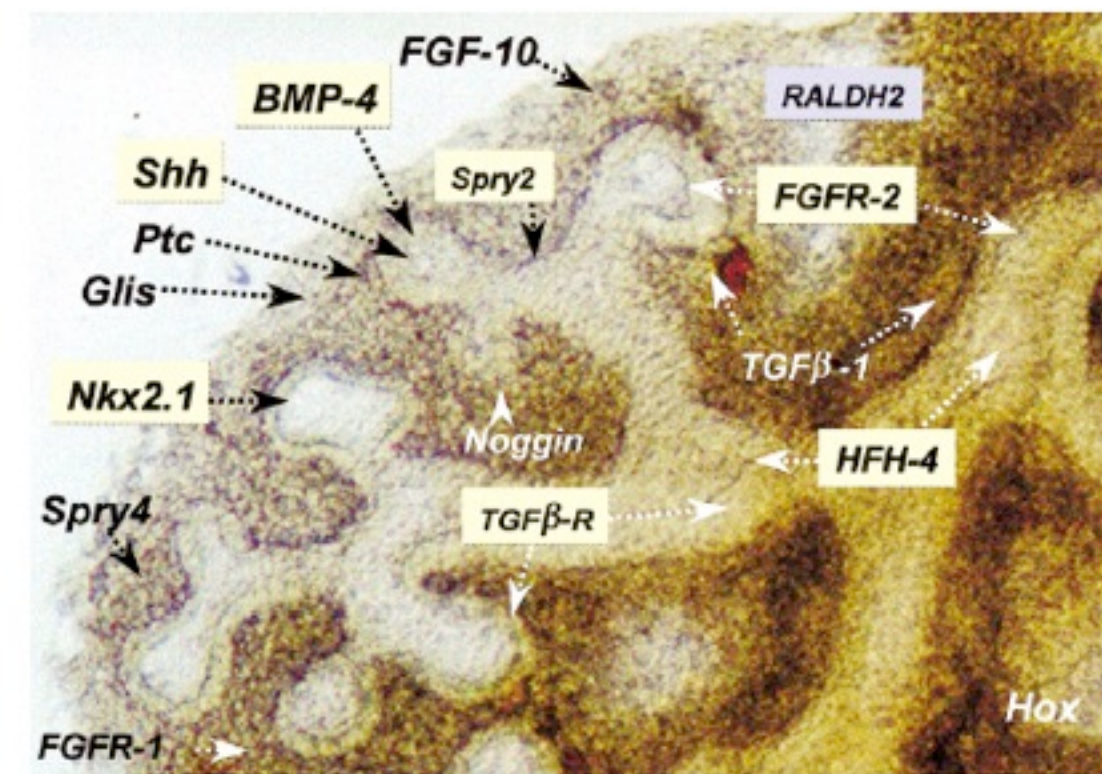
# 発生生物学における情報爆発



FGF10

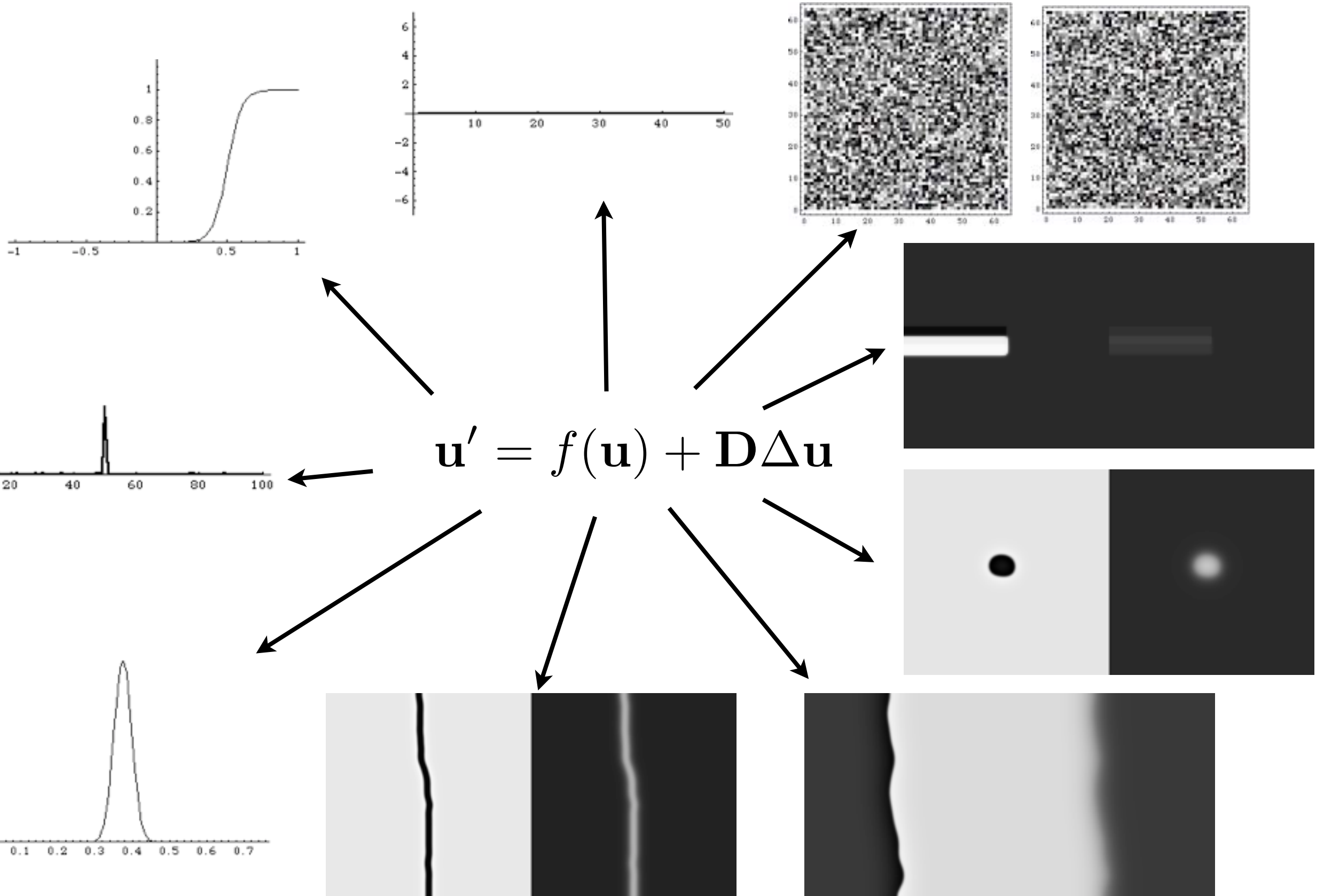


FGF10 KO



Review

# 反応拡散系によるパターン形成



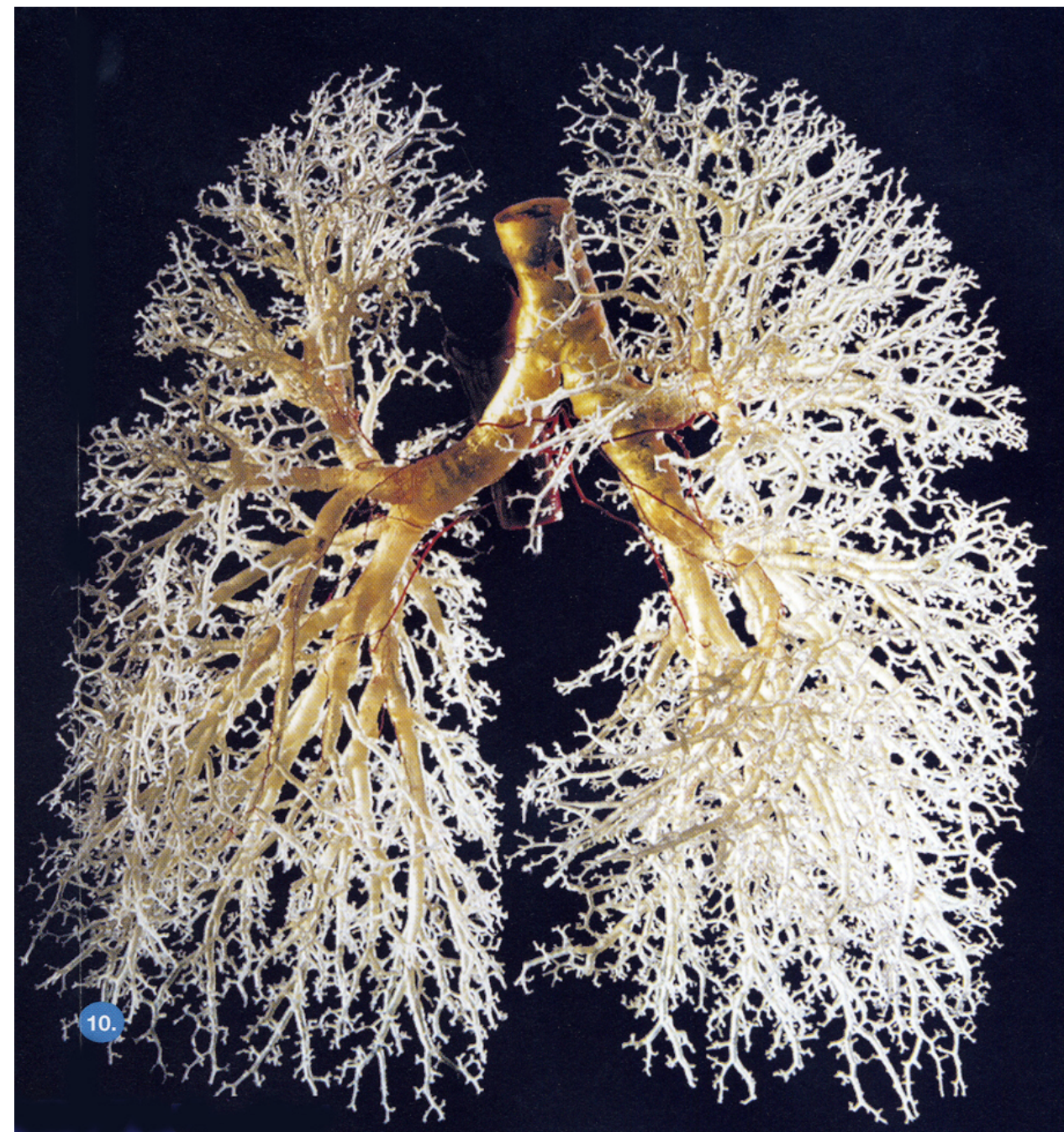
実験：多変数 (20-100)

理論：1-3変数

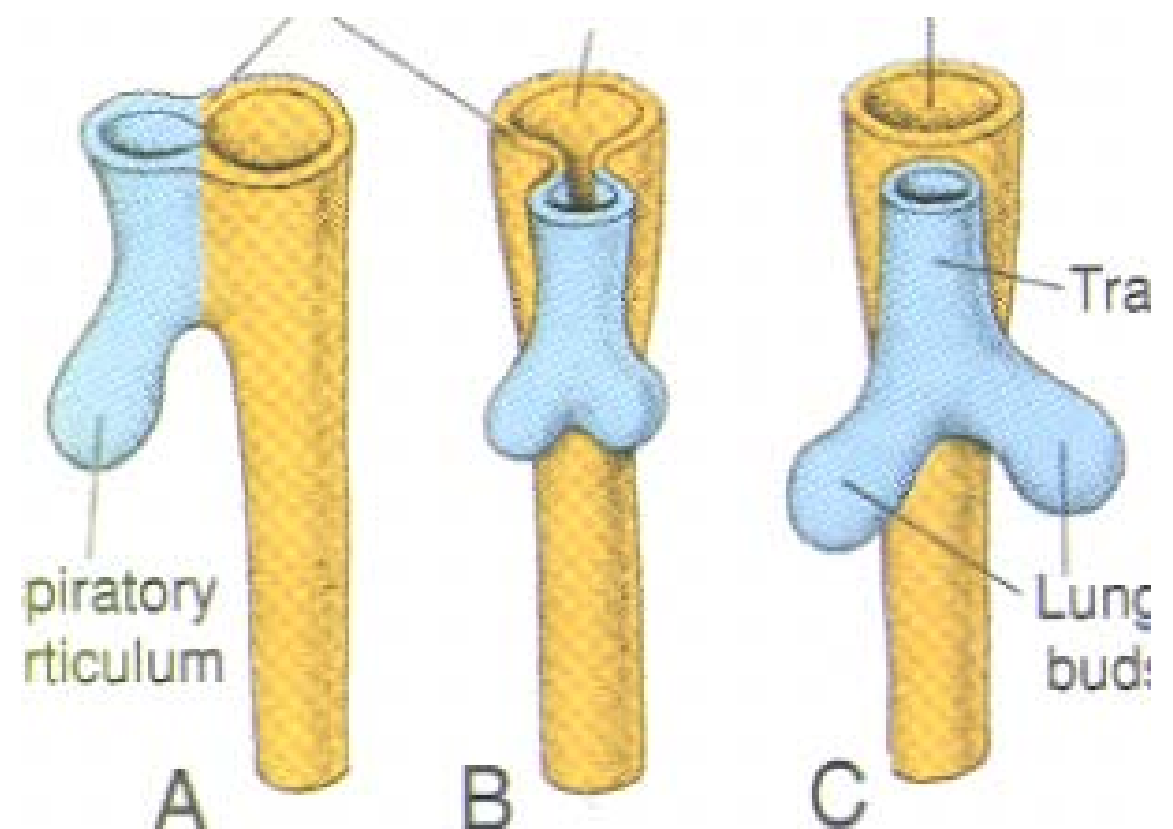
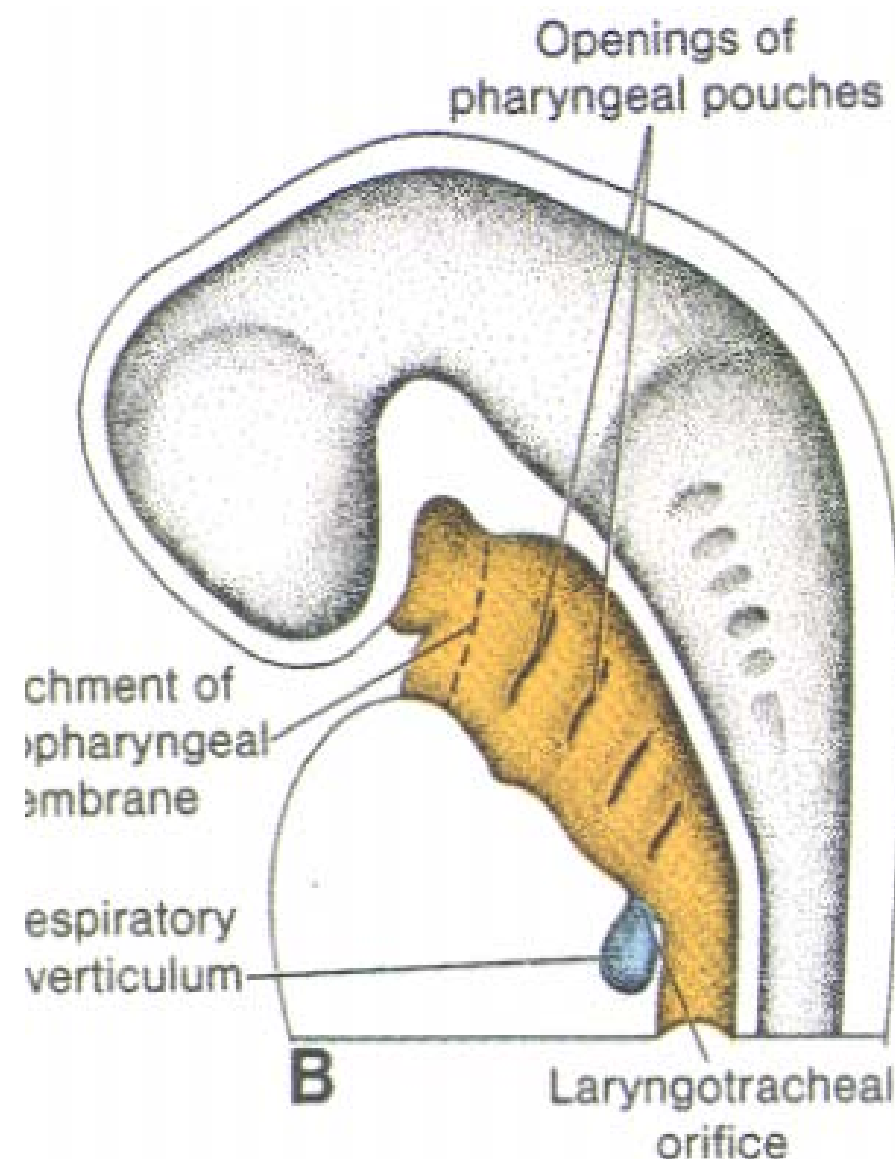


どのように対応をつけるか？

## 2. 肺の枝分かれ形成

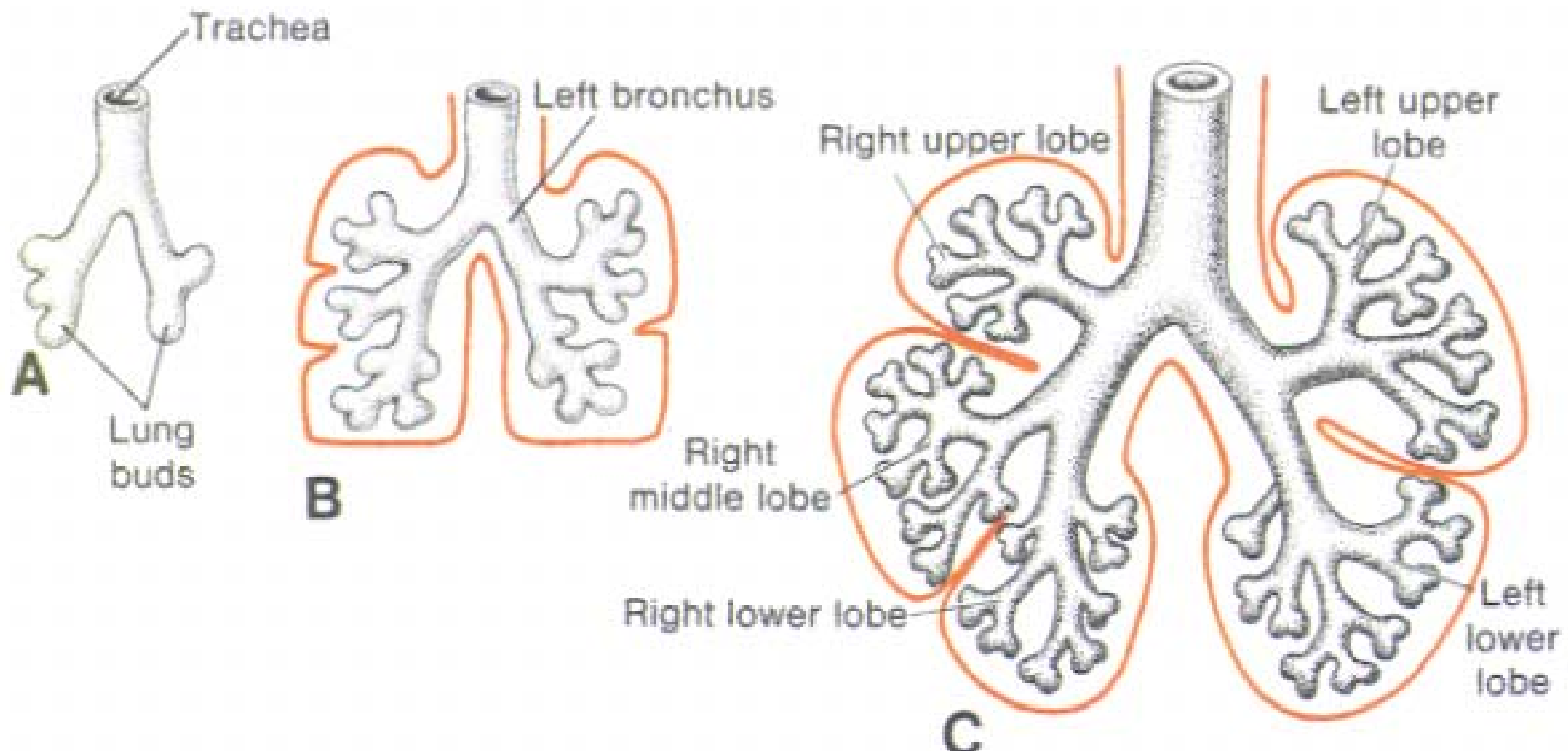


# 肺の枝分かれの形成



Langman's medical embryology

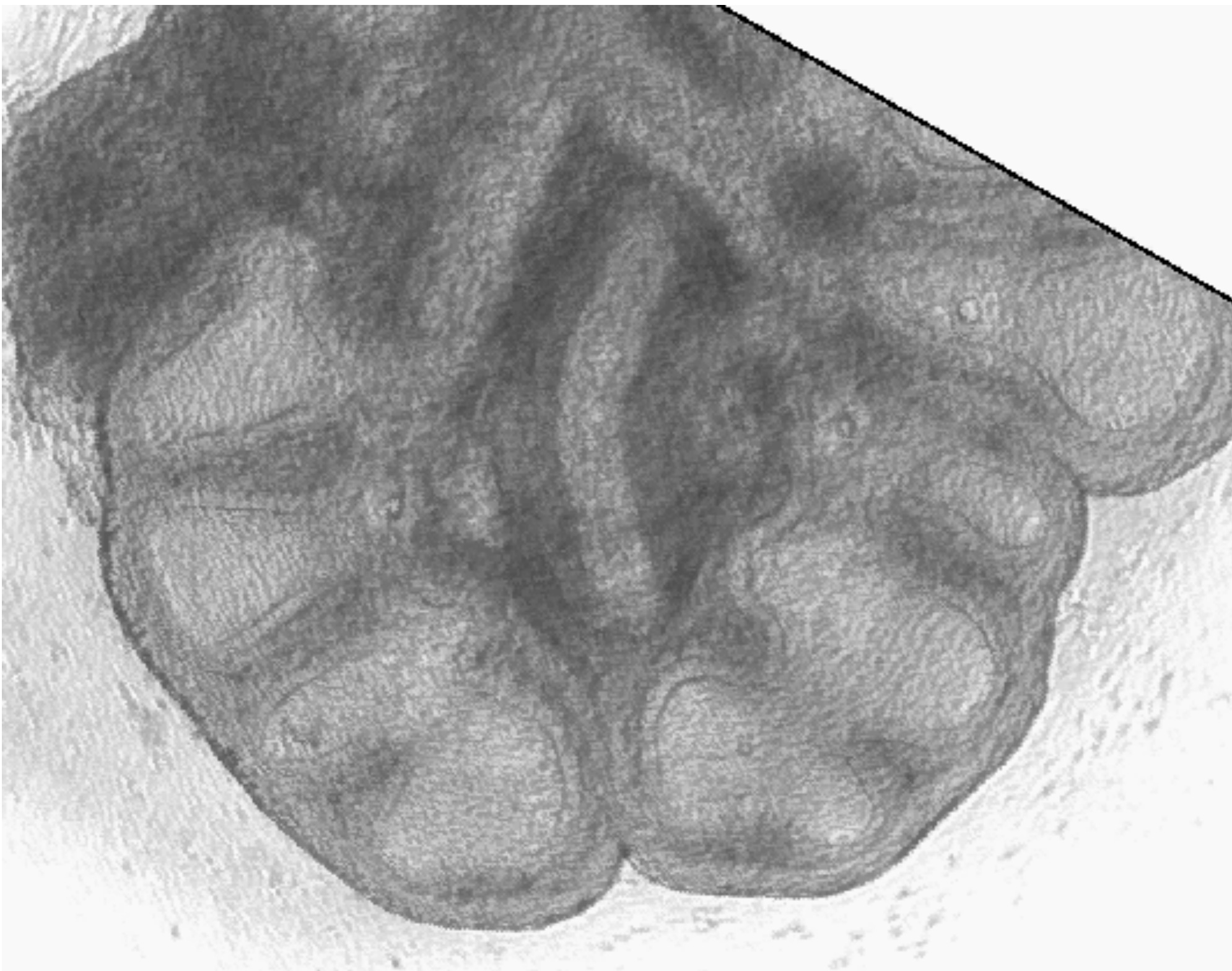
# 肺の枝分かれの形成



上皮と間葉の相互作用

Langman's medical embryology

# 器官培養系



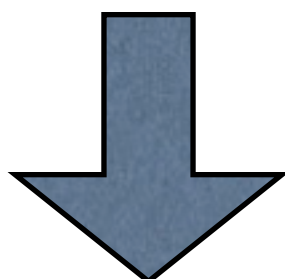
# 関係する遺伝子

Table 1. Examples of mutations in mouse giving a reported lung and/or tracheal phenotype

| Gene symbol                 | Gene name   | Expression pattern        | Phenotype   | Reference                    |
|-----------------------------|---|---------------------------|---|------------------------------|
| <b>Signaling molecule</b>   |   |                           |   |                              |
| <i>Egfr</i>                 | Epidermal growth factor receptor                            | Epithelium and mesenchyme | Impaired branching and deficient alveolization                          | Miettinen et al. (1997)      |
| <i>Fgf18</i>                | Fibroblast growth factor 18                                 | Mesenchyme                | Deficient alveolization   | Usui et al. (2004)           |
| <i>Fgf9</i>                 | Fibroblast growth factor 9                                  | Epithelium and pleura     | Impaired branching, reduced mesenchyme                                  | Colvin et al. (2001)         |
| <i>Grem1</i>                | Gremlin 1   | Epithelium and mesenchyme | Deficient alveolization   | Michos et al. (2004)         |
| <i>Hip1</i>                 | Huntingtin-interacting protein 1                            | Mesenchyme                | Impaired branching  | Chuang et al. (2003)         |
| <i>Shh</i>                  | Sonic hedgehog  | Epithelium                | Impaired branching, tracheoesophageal fistula                           | Litingtung et al. (1998)     |
| <i>Tgfb3</i>                | Transforming growth factor, $\beta$ 3                       | Epithelium and pleura     | Impaired branching  | Kaartinen et al. (1995)      |
| <i>Wnt7b</i>                | Wingless-related MMTV integration site 7B                   | Epithelium                | Vascular defect, reduced mesenchyme                                     | Shu et al. (2002)            |
| <i>Catnnb1</i>              | $\beta$ -Catenin  | Epithelium                | Impaired branching, proximal/distal specification                       | Mucenski et al. (2003)       |
| <i>Ltbp4</i>                | Latent transforming growth factor $\beta$ binding protein 4 | Not reported              | Pulmonary emphysema   | Stern-Kock et al. (2002)     |
| <i>Wnt5a</i>                | Wingless-related MMTV integration site 5A                   | Mesenchyme and epithelium | Increased branching, tracheal defect                                    | Li et al. (2002)             |
| <i>Fgf10</i>                | Fibroblast growth factor 10                                 | Mesenchyme                | Lung agenesis   | Sekine et al. (1999)         |
| <i>Fgrf2b</i>               | Fibroblast growth factor receptor 2b                        | Epithelium                | Lung agenesis   | De Moerlooze et al. (2000)   |
| <i>Fgf8</i>                 | Fibroblast growth factor 8                                  | Not reported              | Right pulmonary isomerism   | Fischer et al. (2002)        |
| <i>Acvr2b</i>               | Activin receptor IIB  | Not reported              | Right pulmonary isomerism   | Oh and Li (1997)             |
| <i>Nodal</i>                | Nodal   | Not reported              | Right pulmonary isomerism   | Lowe et al. (2001)           |
| <i>Lefty1</i>               | Left right determination factor 1                           | Not reported              | Left pulmonary isomerism  | Meno et al. (1998)           |
| <i>Traf4</i>                | Tnf receptor associated factor 4                            | Not reported              | Tracheal defect   | Shiels et al. (2000)         |
| <i>Fgfr3/Fgfr4</i>          | Fibroblast growth factor receptor 3/4                       | Epithelium and mesenchyme | Deficient alveolization   | Weinstein et al. (1998)      |
| <i>Nog</i>                  | Noggin  | Mesenchyme                | Lobation defect   | Weaver et al. (2003)         |
| <b>Transcription factor</b> |   |                           |   |                              |
| <i>Cebpa</i>                | CCAAT/enhancer binding protein (C/EBP), $\alpha$            | Epithelium                | Hyperproliferation of type II cells                                     | Sugahara et al. (2001)       |
| <i>Foxa1/Foxa2</i>          | Forkhead box A1/A2  | Epithelium                | Impaired branching, reduced smooth muscle                               | Wan et al. (2005)            |
| <i>Foxf1a</i>               | Forkhead box F1a  | Mesenchyme                | Impaired branching, lobation defect                                     | Lim et al. (2002)            |
| <i>Hoxa5</i>                | Homeobox A5   | Mesenchyme                | Impaired branching, tracheal defect                                     | Aubin et al. (1997)          |
| <i>Klf2</i>                 | Kruppel-like factor 2 (lung)                                | Not reported              | Impaired sacculation  | Wani et al. (1999)           |
| <i>Mycn</i>                 | Neuroblastoma myc-related oncogene 1                        | Epithelium                | Impaired branching  | Moens et al. (1992)          |
| <i>Trp63</i>                | Transformation-related protein 63                           | Epithelium                | Tracheobronchial defect   | Daniely et al. (2004)        |
| <i>Titf1</i>                | Thyroid transcription factor 1                              | Epithelium                | Loss of distal lung fate, impaired branching, tracheoesophageal fistula | Kimura et al. (1996)         |
| <i>Nfib</i>                 | Nuclear factor I/B  | Epithelium and mesenchyme | Sacculation defect  | Steele-Perkins et al. (2005) |
| <i>Sox11</i>                | SRY-box-containing gene 11                                  | Epithelium                | Hypoplastic lung  | Sock et al. (2004)           |
| <i>Tcf21</i>                | Transcription factor 21 (Pod1)                              | Mesenchyme                | Impaired branching  | Quaggin et al. (1999)        |
| <i>Rarb/Rara</i>            | Retinoic acid receptor $\alpha/\beta$                       | Epithelium and mesenchyme | Left lung agenesis and right lung hypoplasia                            | Mendelsohn et al. (1994)     |
| <i>Ptx2</i>                 | Paired-like homeodomain transcription factor 2              | Mesenchyme                | Right pulmonary isomerism   | Lin et al. (1999)            |
| <i>Foxj1</i>                | Forkhead box J1   | Epithelium                | Left-right asymmetry, loss of ciliated cells                            | Brody et al. (2000)          |
| <i>Gata6</i>                | GATA-binding protein 6                                      | Epithelium                | Impaired sacculation  | Yang et al. (2002)           |
| <i>Gli2/Gli3</i>            | GLI-Kruppel family member GLI2/GLI3                         | Mesenchyme                | Lung agenesis   | Motoyama et al. (1998)       |
| <i>Ascl1</i>                | Achaete-scute complex homolog-like 1                        | Neuroendocrine cells      | Loss of neuroendocrine cells  | Ito et al. (2000)            |
| <b>Others</b>               |   |                           |   |                              |
| <i>Eln</i>                  | Elastin   | Mesenchyme                | Deficient alveolization   | Wendel et al. (2000)         |
| <i>Lmnrb1</i>               | Lamin B1  | Epithelium and mesenchyme | Deficient alveolization   | Vergnes et al. (2004)        |
| <i>Lama5</i>                | Laminin $\alpha 5$  | Epithelium and pleura     | Defective lobation  | Nguyen et al. (2002)         |
| <i>Pcaf</i>                 | p300/CBP-associated factor                                  | Epithelium and mesenchyme | Defective proximal and distal epithelial cell differentiation           | Shikama et al. (2003)        |
| <i>Adam17</i>               | A disintegrin and metallopeptidase domain 17                | Epithelium                | Impaired epithelial differentiation, impaired branching                 | Zhao et al. (2001)           |
| <i>Crh</i>                  | Corticotropin releasing hormone                             | Epithelium                | Defective epithelial and mesenchymal maturation                         | Peschon et al. (1998)        |
| <i>Pthlh</i>                | Parathyroid hormone-like peptide                            | Epithelium                | Deficient alveolization   | Muglia et al. (1999)         |
| <i>Itga3</i>                | Integrin $\alpha 3$   | Epithelium                | Impaired branching  | Rubin et al. (2004)          |
| <i>Cutl1</i>                | Cut-like 1  | Epithelium                | Impaired epithelial differentiation                                     | Kreidberg et al. (1996)      |
|                             |   |                           |   | Ellis et al. (2001)          |

生体のシステムは

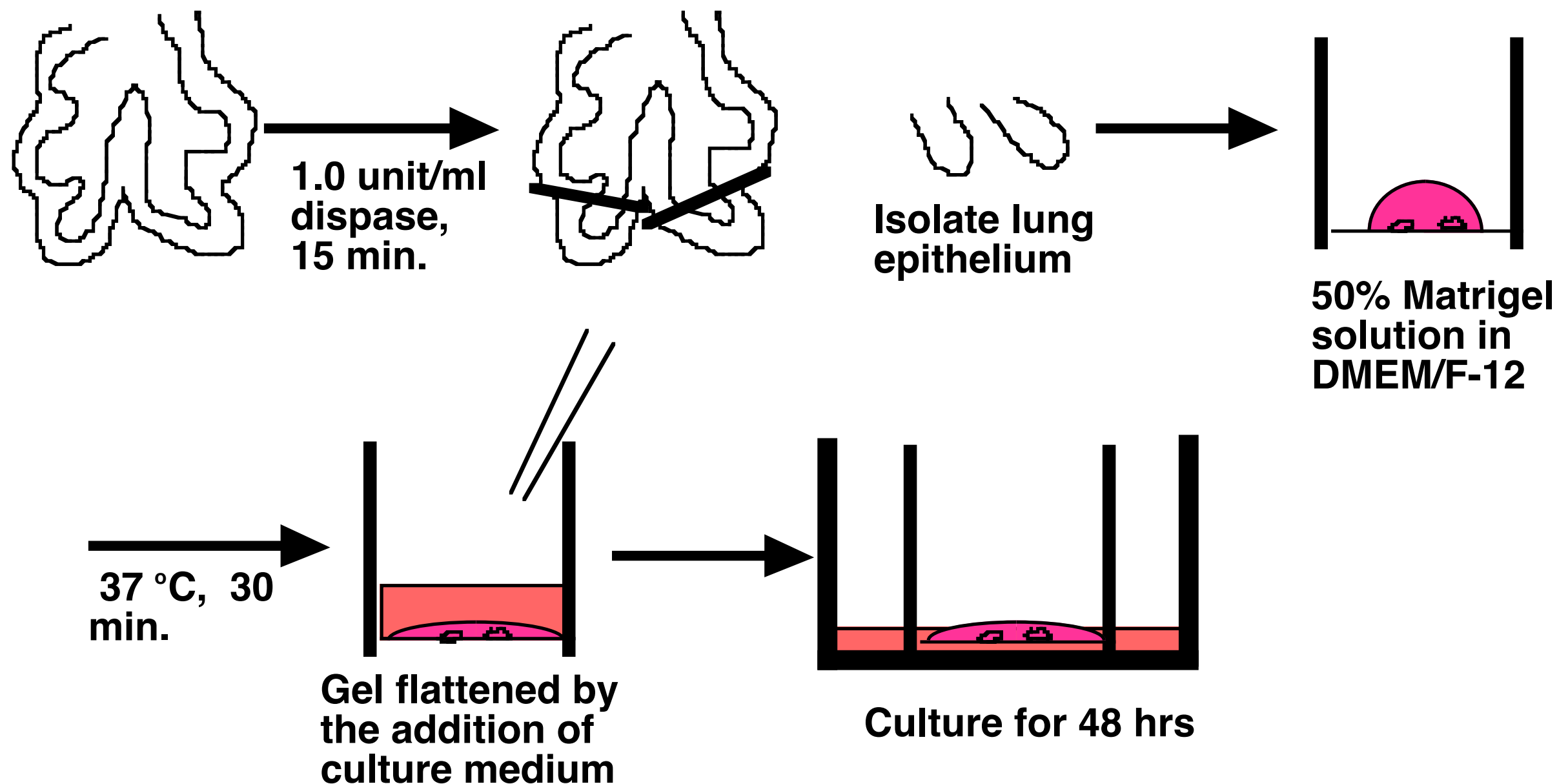
複雑すぎる



出来るだけ簡単な

実験系を作る

# 上皮のみを単離した培養系

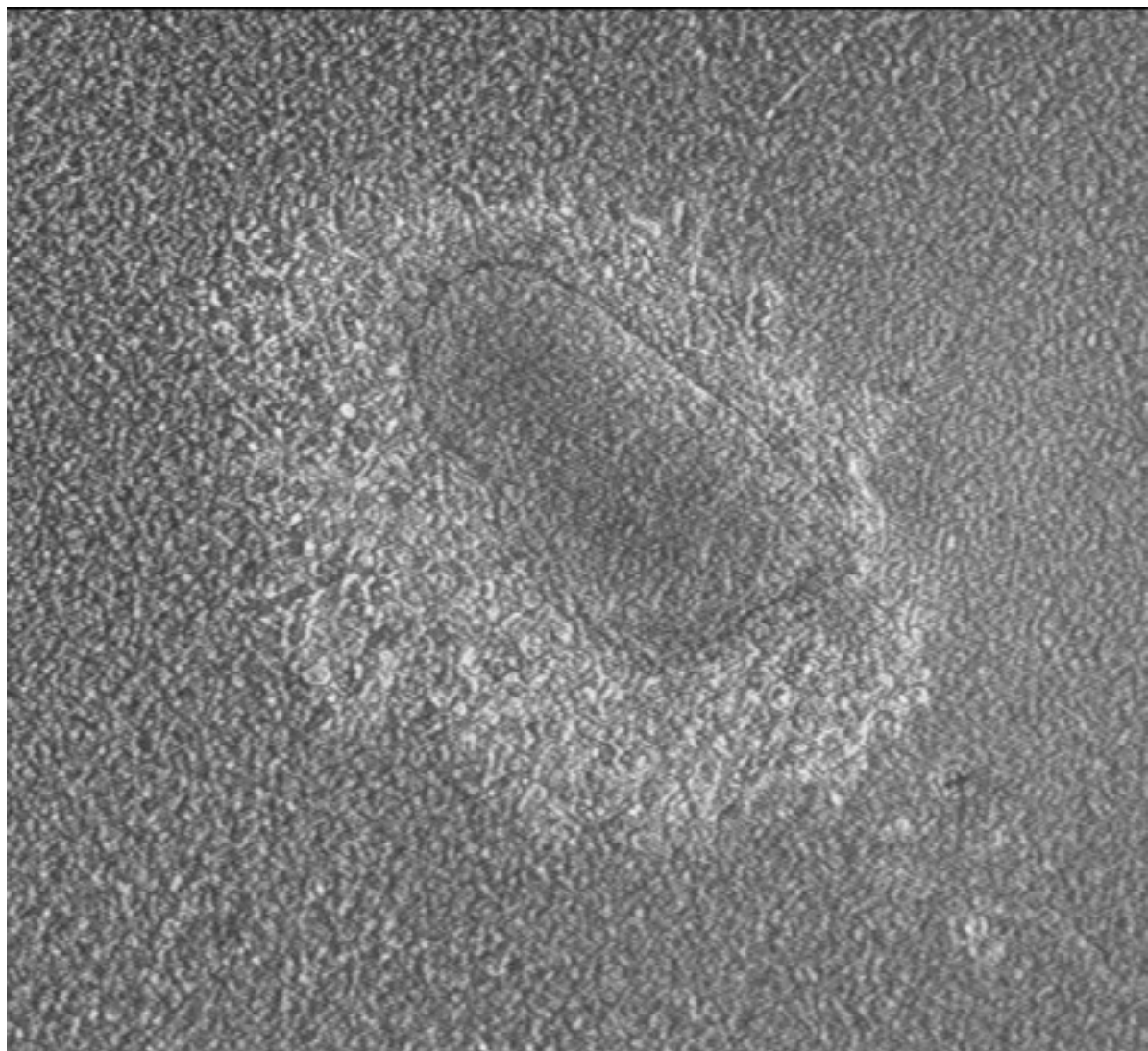


Ito & Nogawa, Development 121(4) 1015-22 (1995)

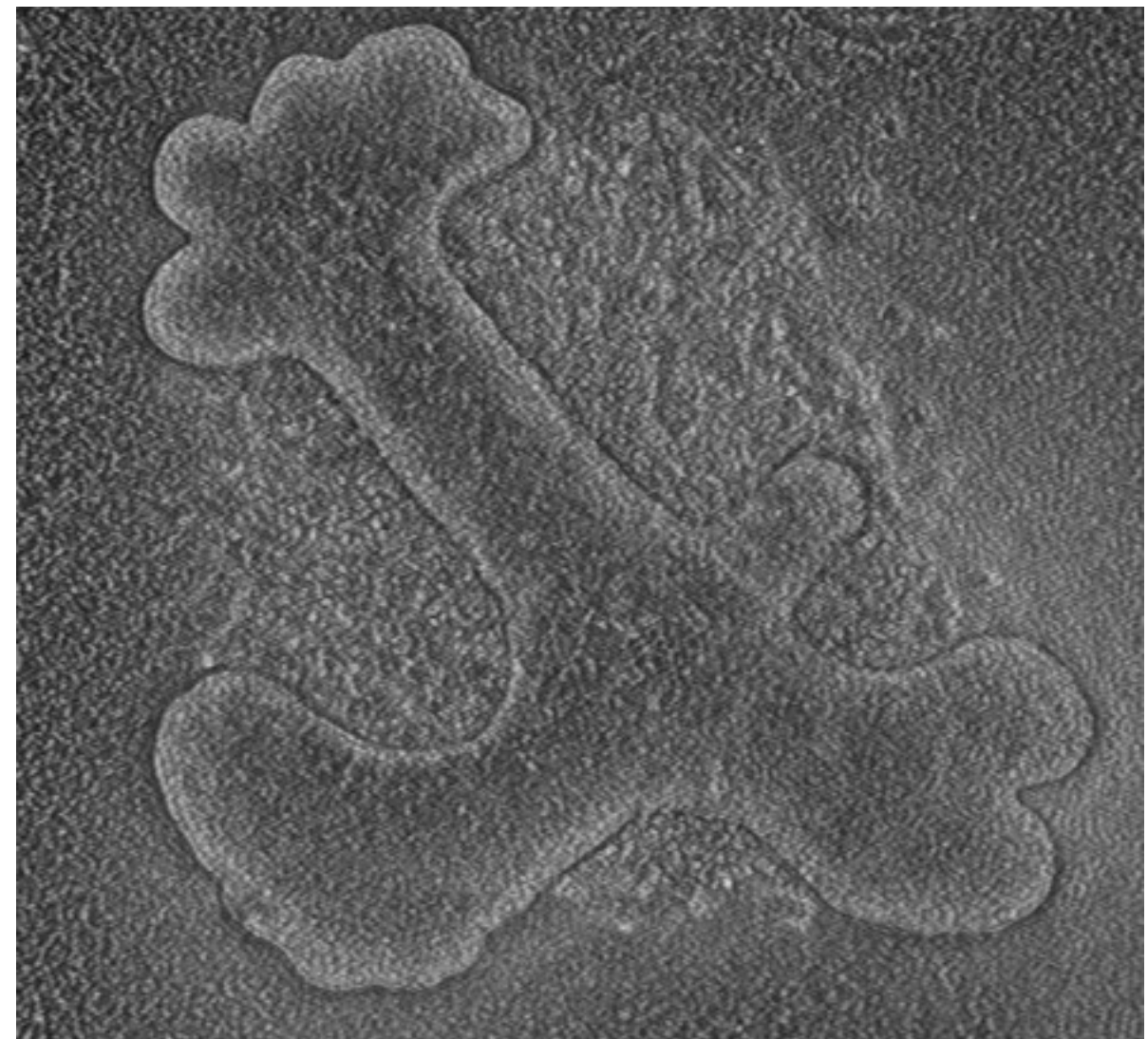
上皮だけでも  
枝分れの形成は起きる



# 培地にFGF が必要



10 ng/ml FGF1



100 ng/ml FGF1

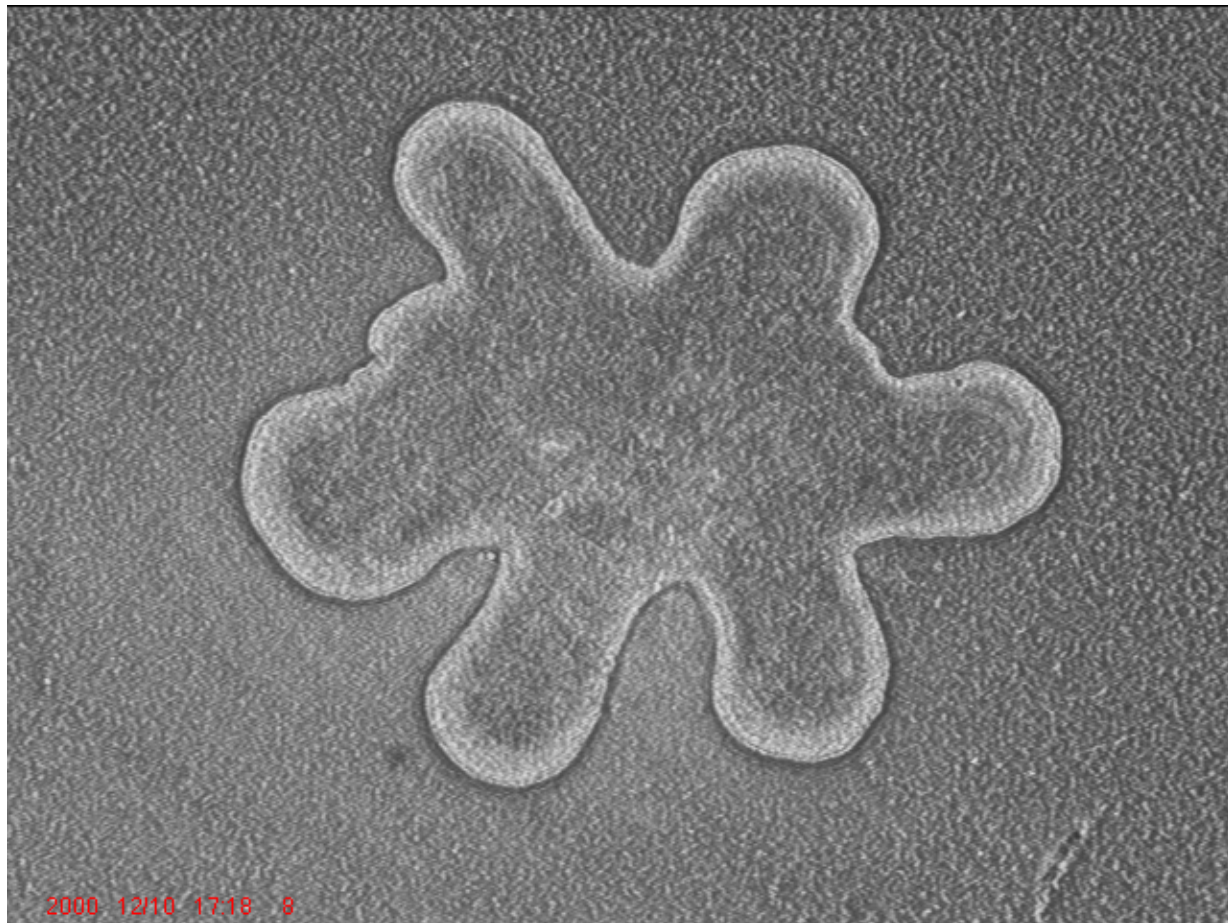
Ito & Nogawa, Development 121(4) 1015-22 (1995)

肺上皮はFGFの濃度の高い方に  
向かって伸びる



# 細胞外基質の分解

>嚢胞形成



Control



2  $\mu\text{g}/\text{ml}$  collagenase I

FGFが大事。

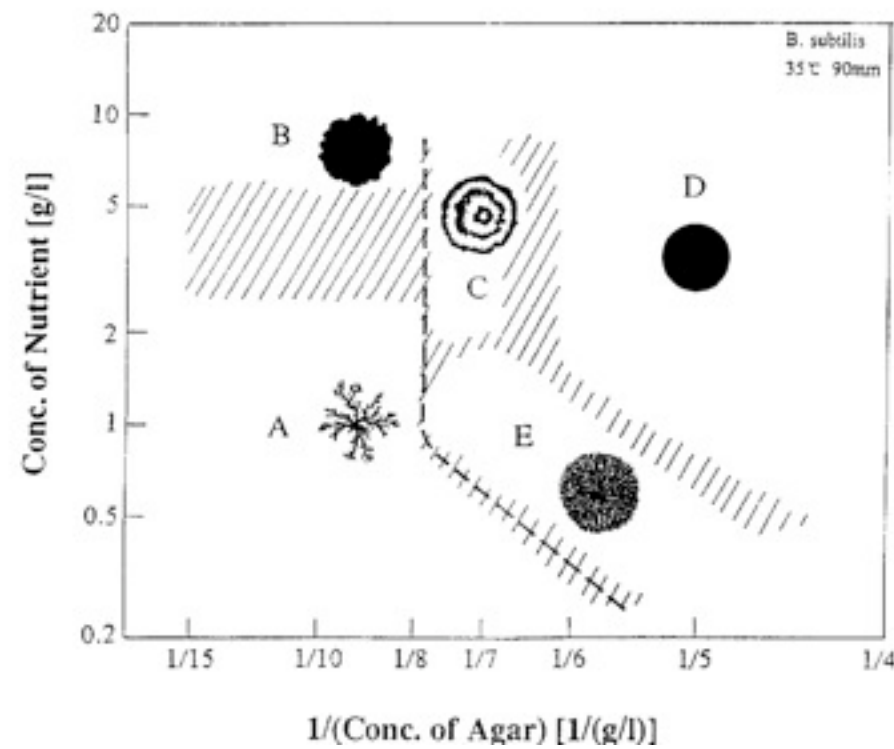
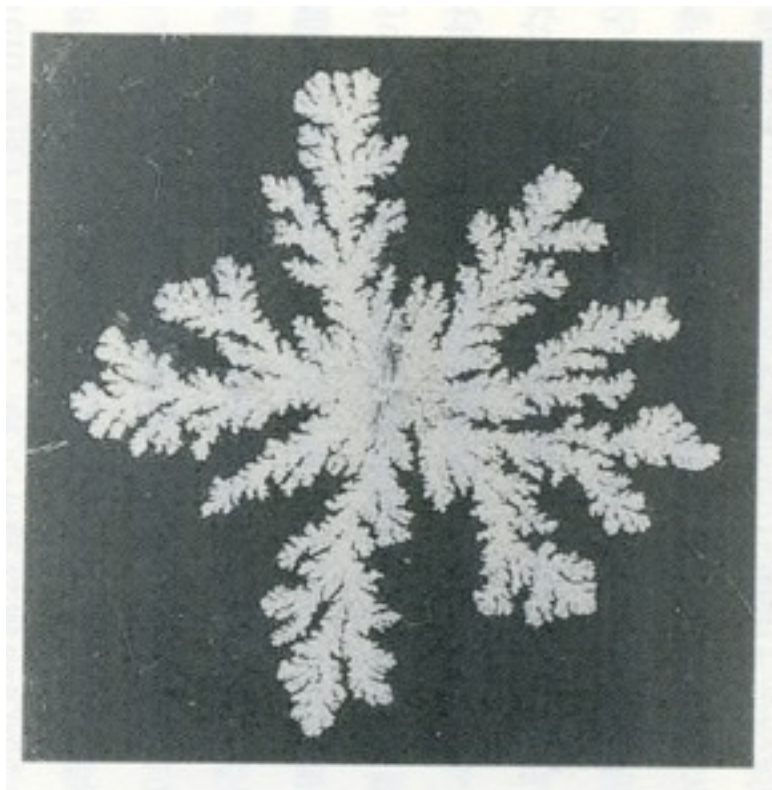
細胞外基質も関係する。

枝分れのできる原理は？



別の系に学ぶ

# バクテリアコロニーの パターン形成



松下貢先生  
(中大)

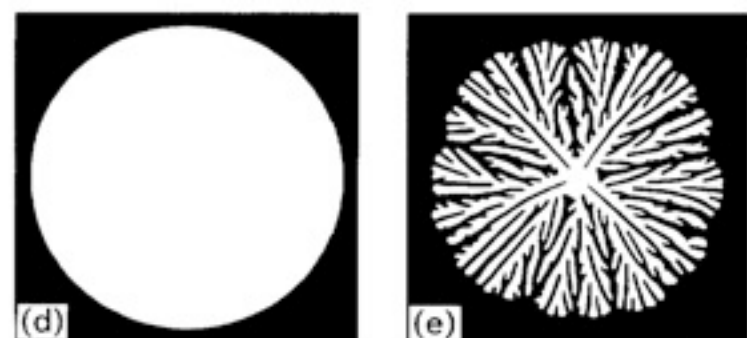
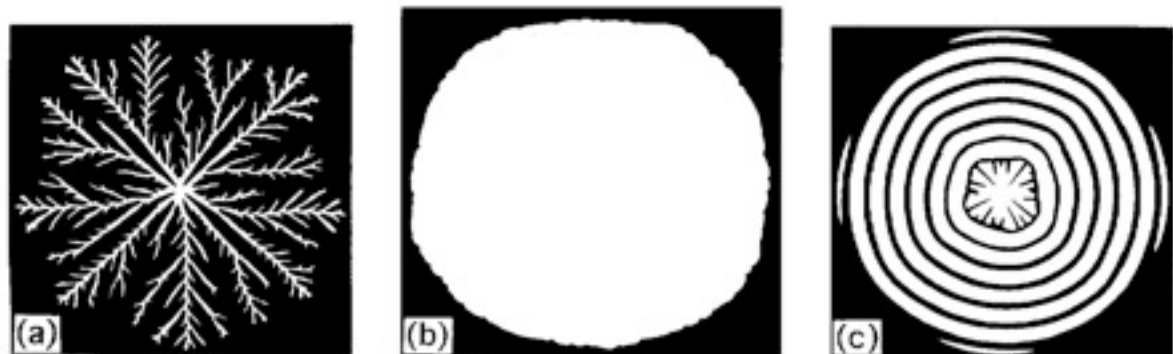
低栄養下でバクテリアのコロニーが  
様々なパターンをつくる

# 三村モデル

$$\frac{\partial b}{\partial t} = \nabla(d(b, n)\nabla b) + \varepsilon g(n)b - a(b, n)b ,$$

$$\frac{\partial s}{\partial t} = a(b, n)b ,$$

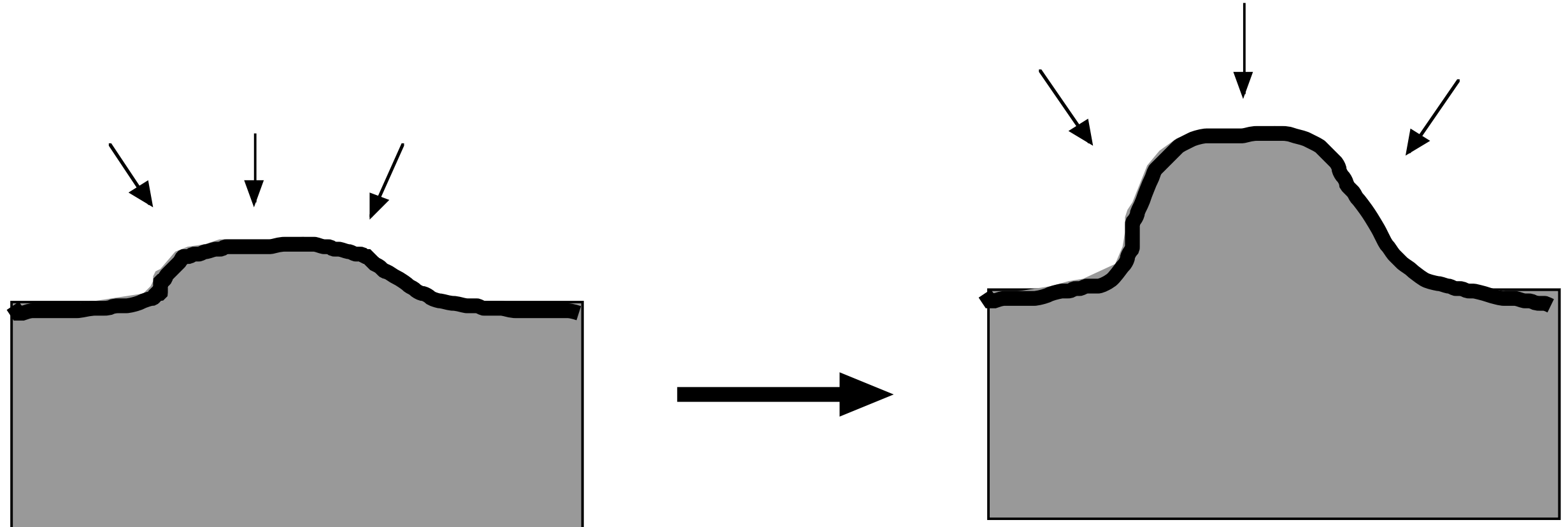
$$\frac{\partial n}{\partial t} = \nabla^2 n - g(n)b .$$



三村昌泰先生 (明大)

Mimura et al., Physica A 249, 517- (1998)

“突起の部分が早くのびる”



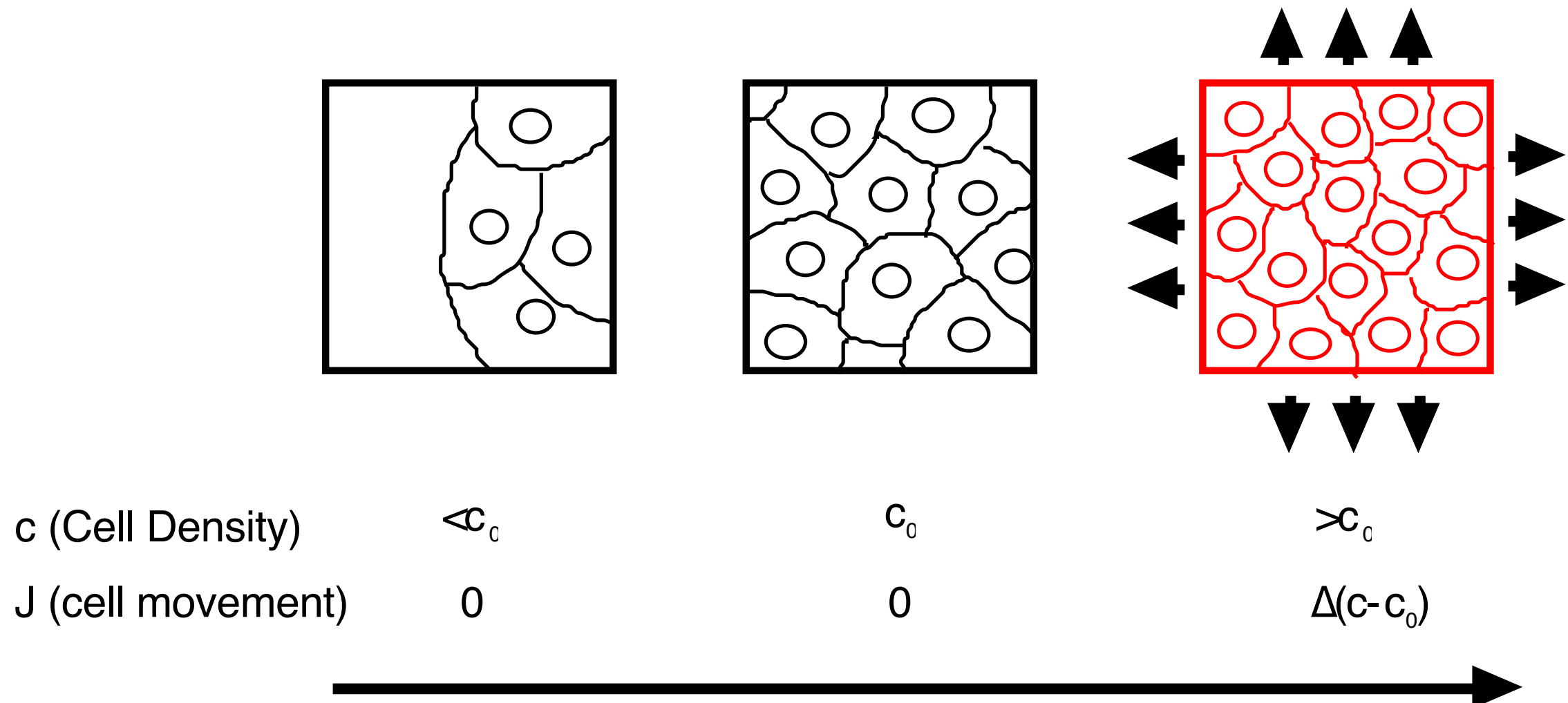
# 対応が薄々見える

- FGF = 栄養
- 肺の上皮細胞=バクテリアの細胞密度

# FGF欠乏モデル

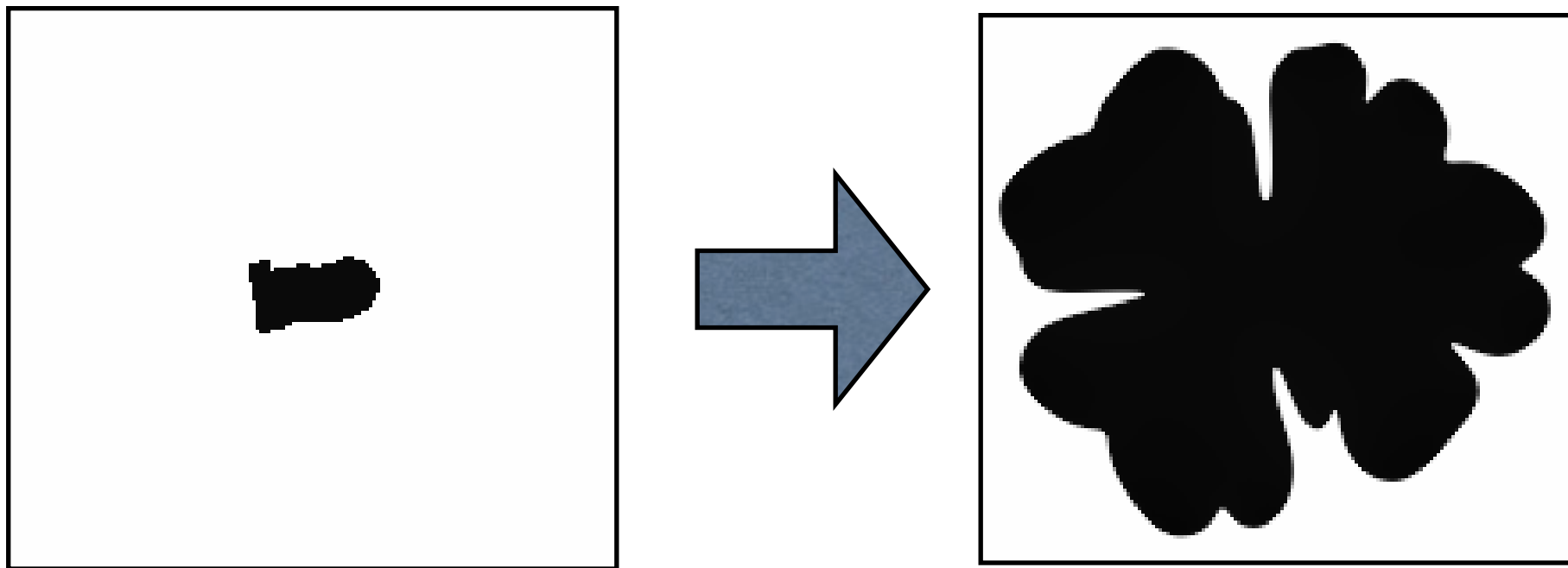
- 細胞密度  $c(x, y, t)$
- FGF 濃度  $n(x, y, t)$
- 細胞はFGFを消費して成長する
- FGF はゲルの中を拡散する
- 細胞は一定の細胞密度を保つように動く

# 細胞運動の定義



=Volume-of-fluid method (J.A. Sethian, Level Set Methods and Fast Marching Methods)

# 數值計算



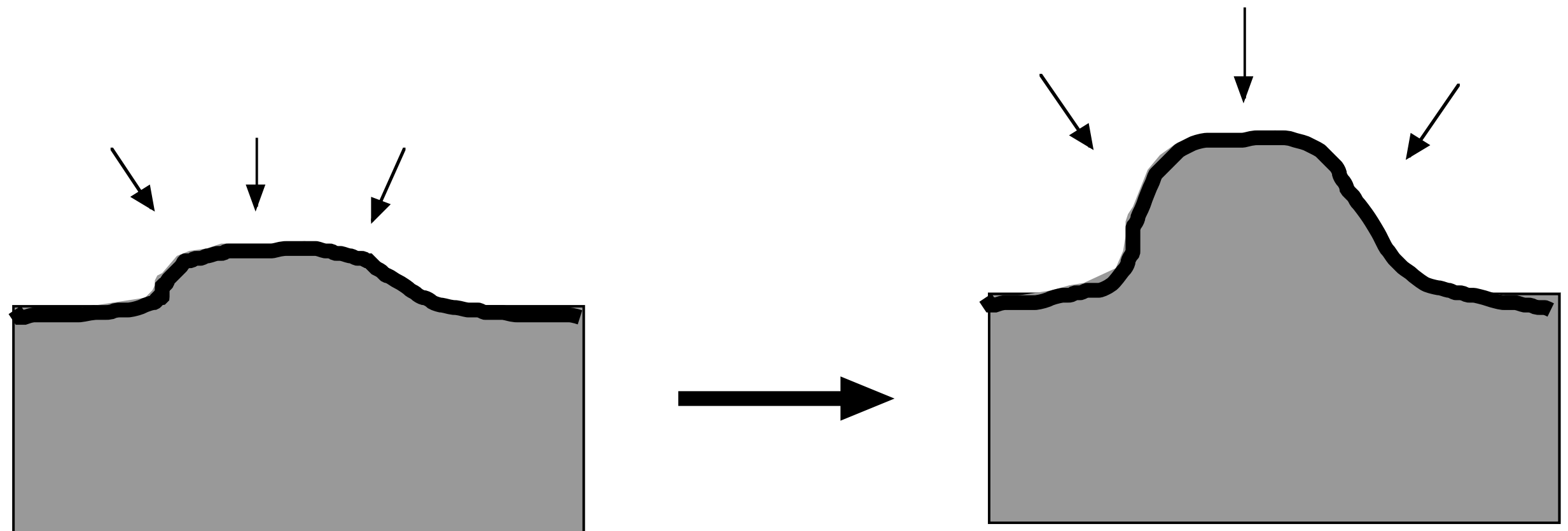
$$f(c, n) = \frac{5cn}{1 + 3n}, p = 1.0$$

$$d_1 = 4.0, d_2 = 1.7$$

$$n_0 = 0.5, c_0 = 1.0$$

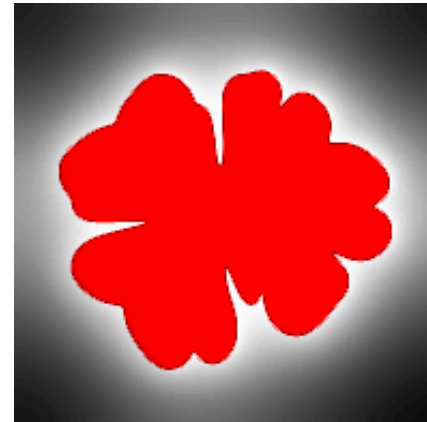
Miura & Shiota, MOD 116, 29-38(2002)

“突起の部分が早くのびる”

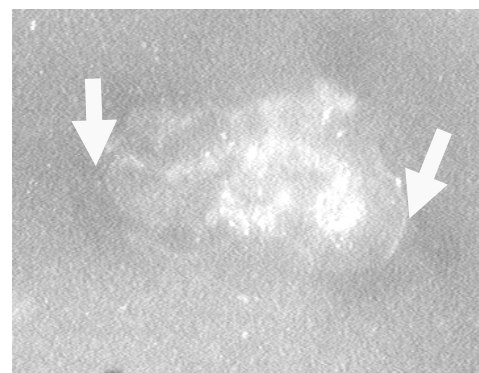


# FGFが消費されているか？

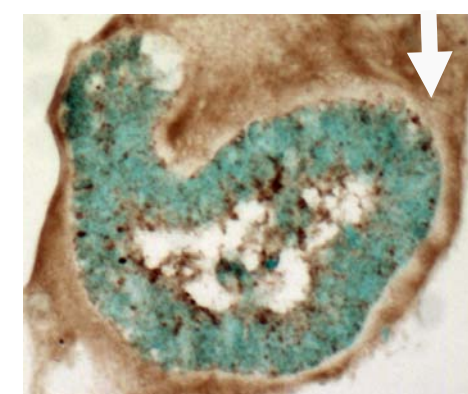
FGF distribution in  
numerical simulation



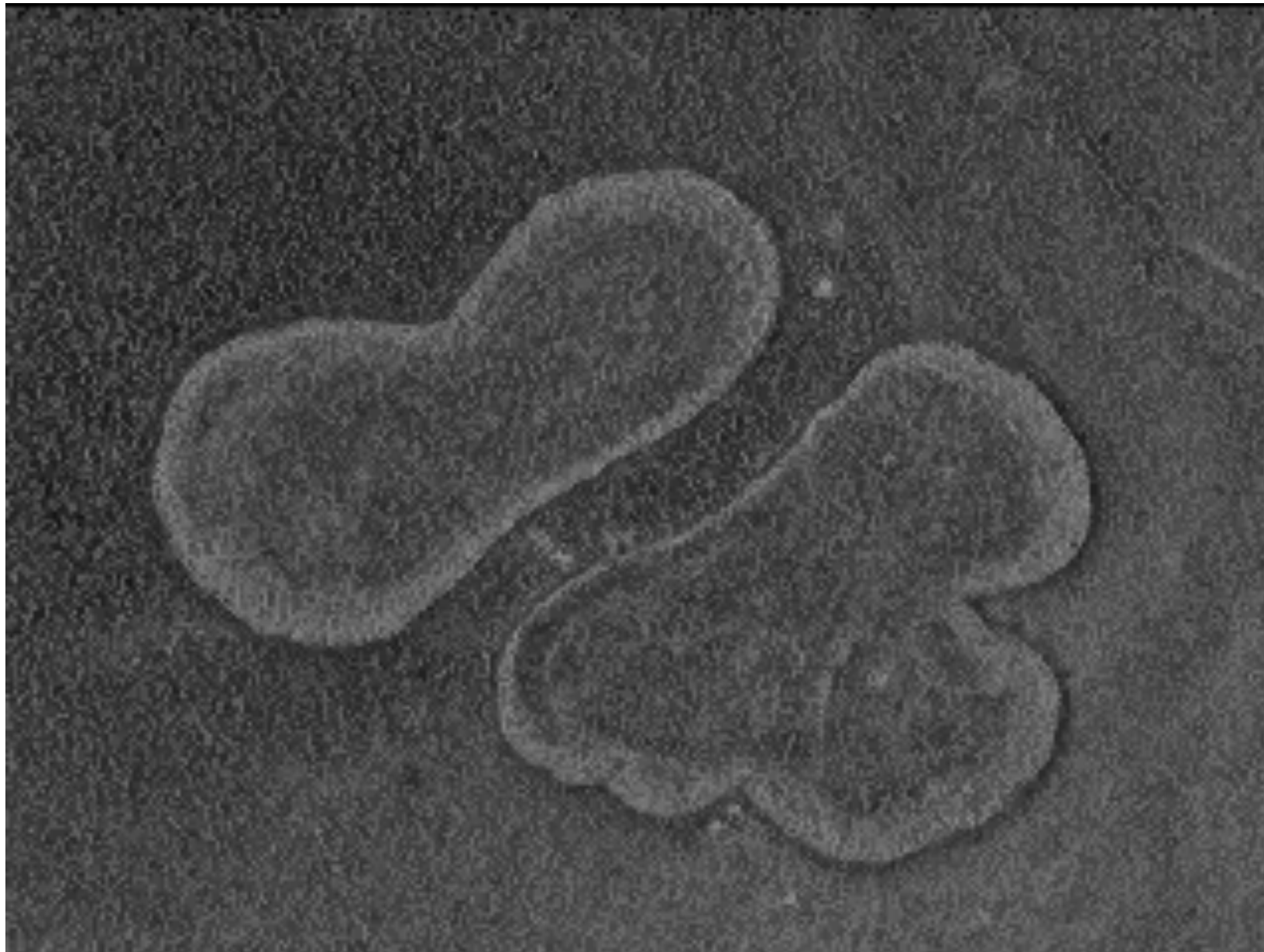
Cy3-labeled FGF



FGF immunohistochemistry



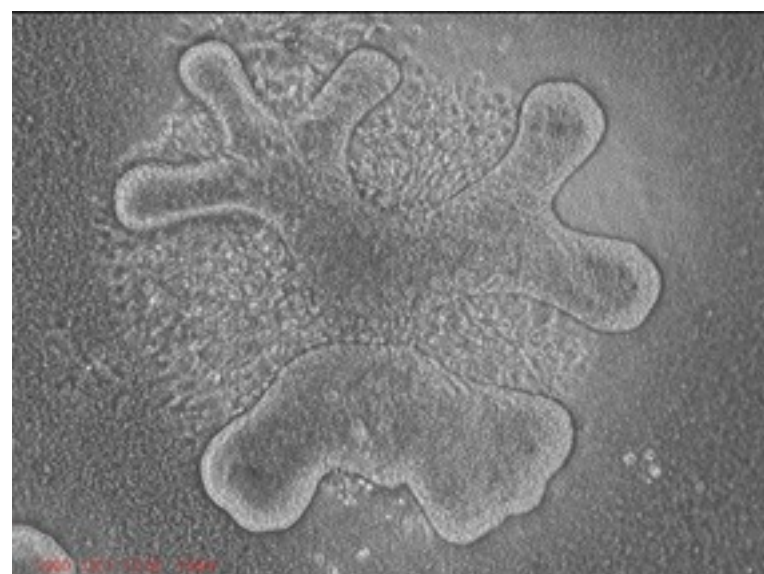
# 遮蔽効果



間のFGF濃度が低くなる>枝が出ない

# 遮蔽効果の抑制

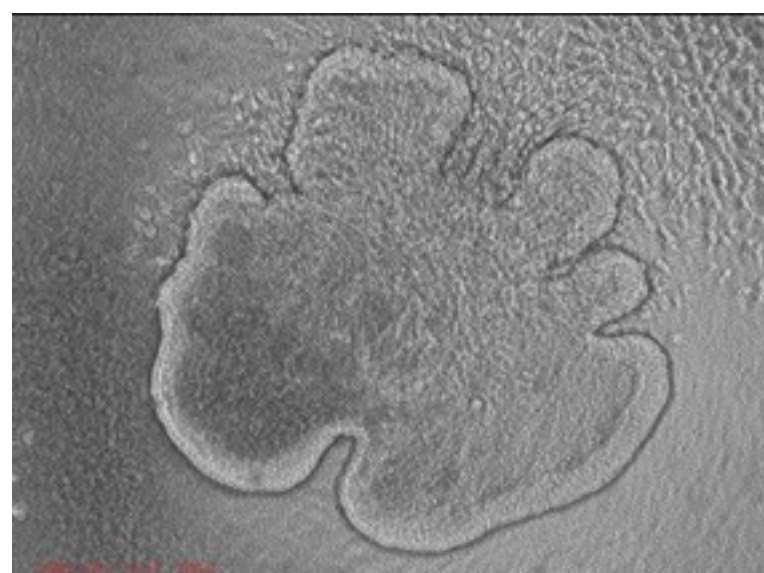
Low FGF



Simulation



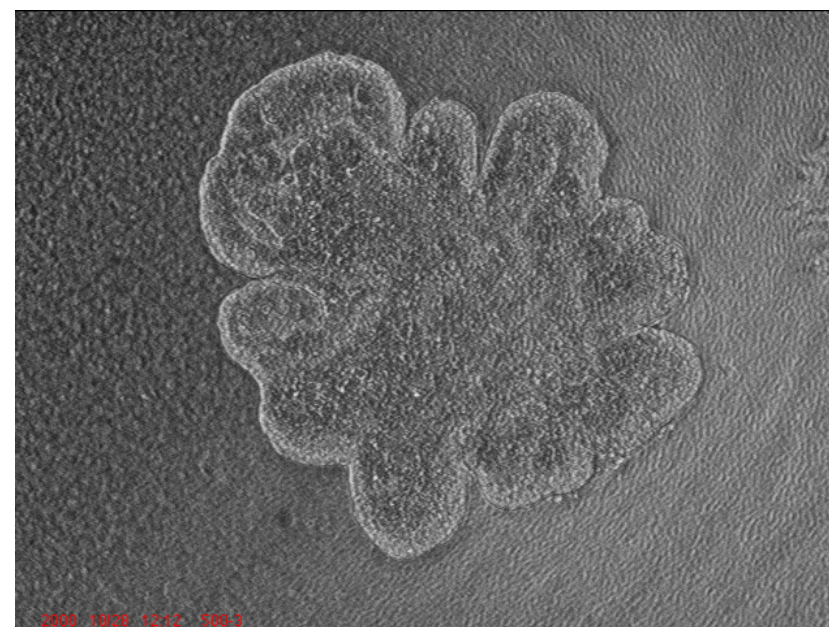
High FGF



# 高濃度のFGFによる形態変化

500 ng/ml FGF1

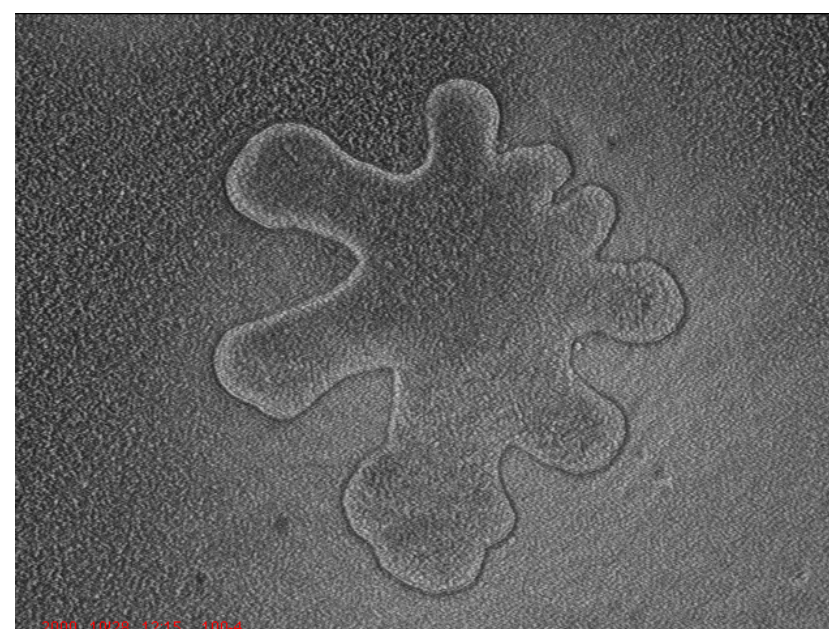
Experiment



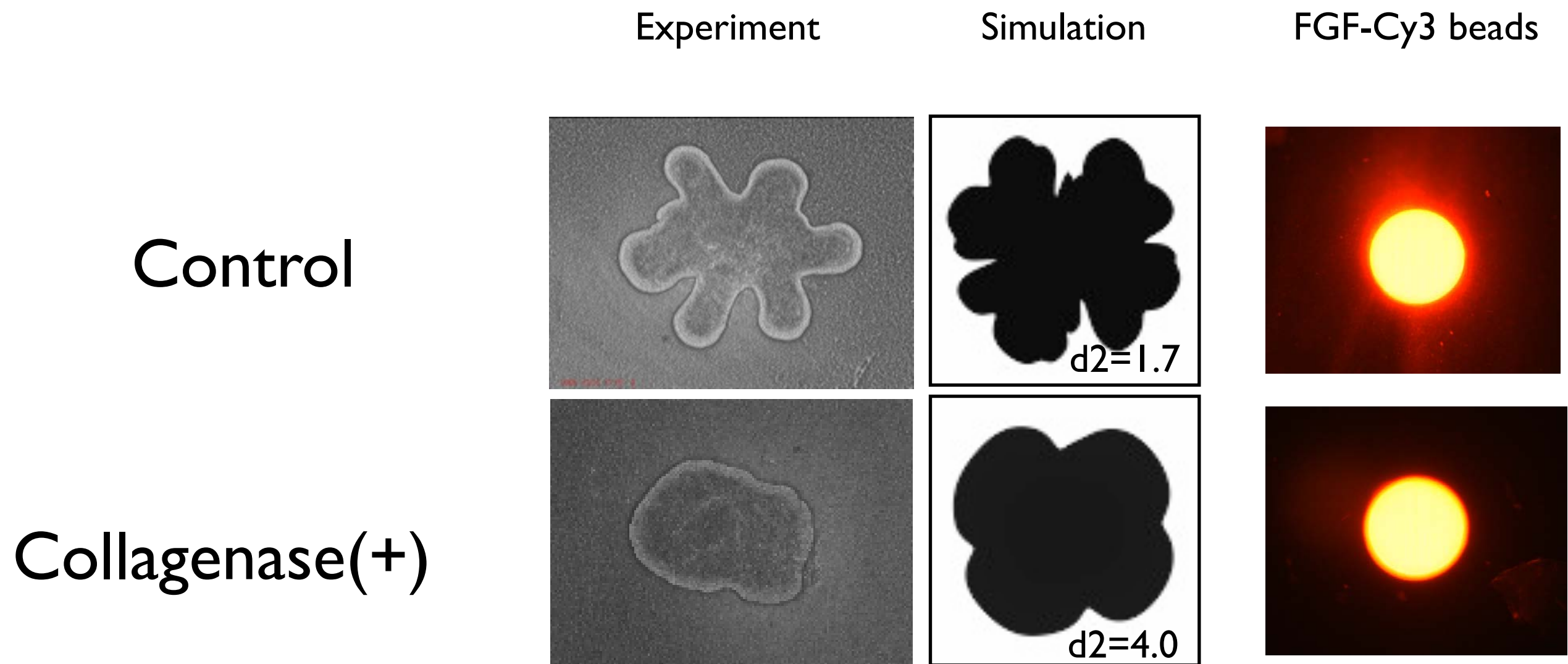
Simulation



100 ng/ml FGF1



# 細胞外基質の分解と拡散係数



in vitro の肺上皮の  
枝分れのメカニズムは  
(だいたい) 理解した.

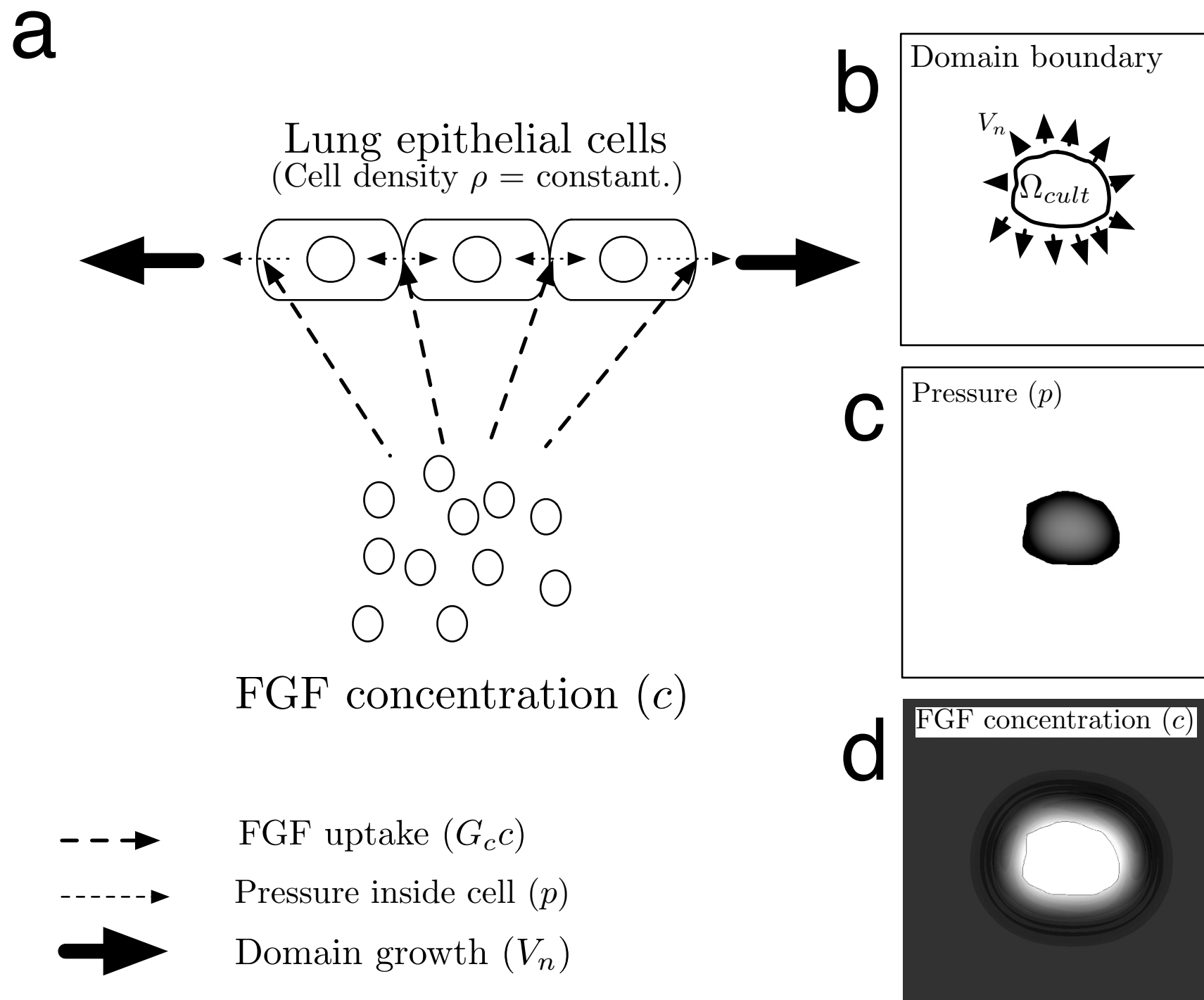
モデルが  
数理的に扱いにくい  
(細胞運動の部分)



# 数学的な解析の出来る 連續モデルの構築

(Heidelberg 大学 D. Hartmann 氏との共同研究)

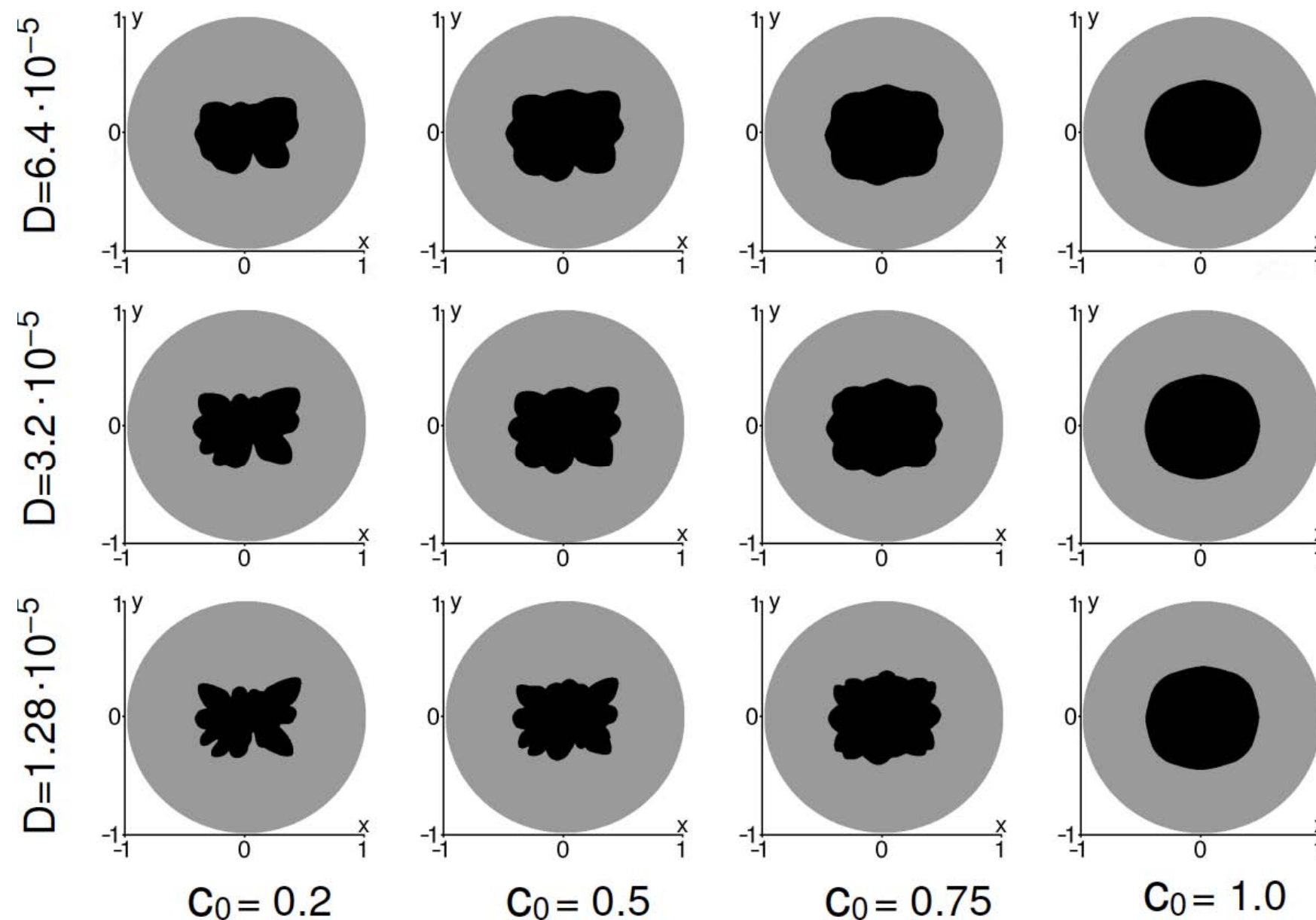
# 自由境界モデルの定義



# 支配方程式

$$\begin{aligned} \text{圧力} & \quad \text{細胞の成長} \quad \text{組織片内} \\ 0 &= \alpha \Delta p(\mathbf{x}; t) + \frac{G_\rho c(\mathbf{x}; t)}{\rho} \quad (\mathbf{x}; t) \in \Omega_{\text{cult.}}(t) \times (0, T] \\ \frac{\partial c(\mathbf{x}; t)}{\partial t} &= D \Delta c(\mathbf{x}; t) - \chi_{\Omega_{\text{cult.}}(t)}(\mathbf{x}) G_c c(\mathbf{x}; t) \quad (\mathbf{x}; t) \in \Omega \times (0, T]. \\ \text{拡散} & \quad \text{FGFの消費} \quad \text{全体} \\ V_n(\mathbf{x}; t) &= -\boldsymbol{\nu}(\mathbf{x}; t) \cdot \alpha \nabla p(\mathbf{x}; t) \quad (\mathbf{x}; t) \in \partial \Omega_{\text{cult.}}(t) \times (0, T] \\ \text{境界の速度} & \quad \text{単位ベクトル} \quad \text{圧勾配} \quad \text{境界部分} \end{aligned}$$

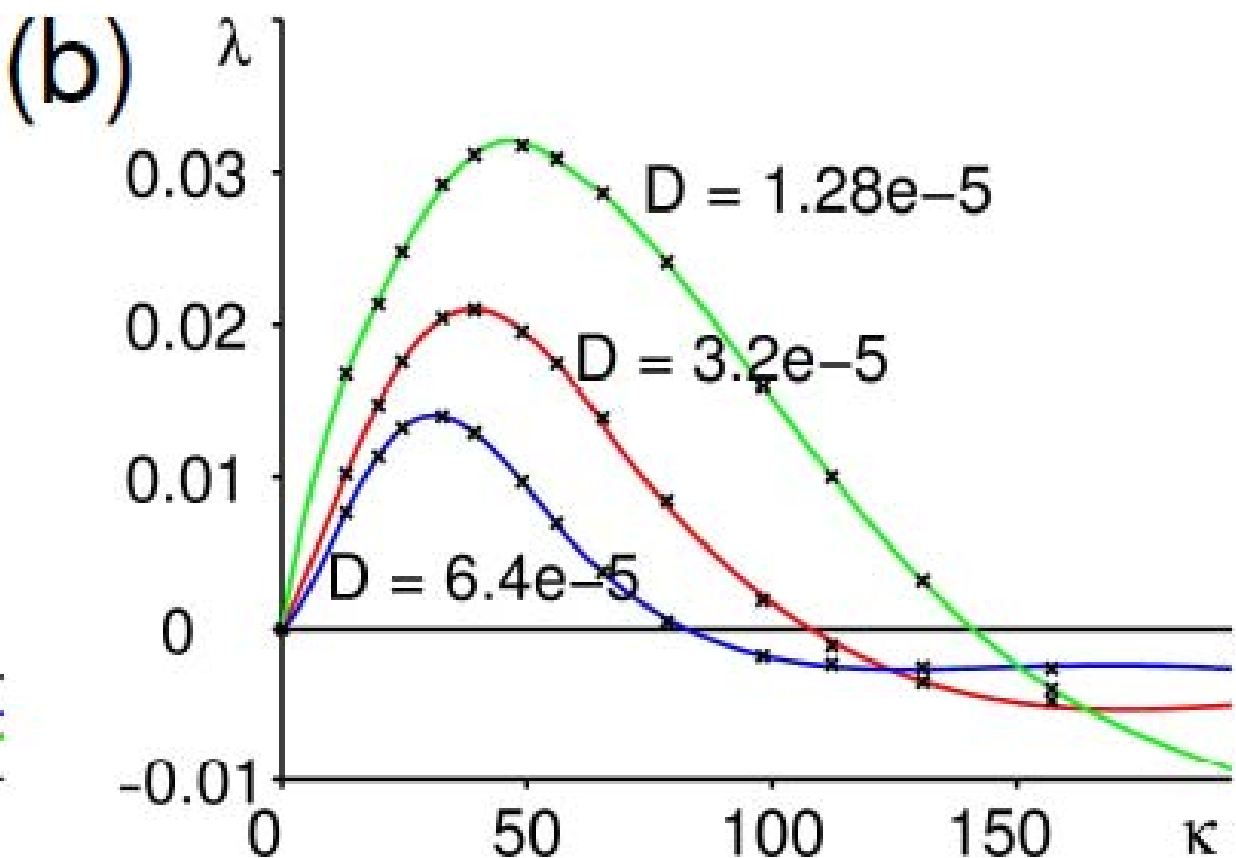
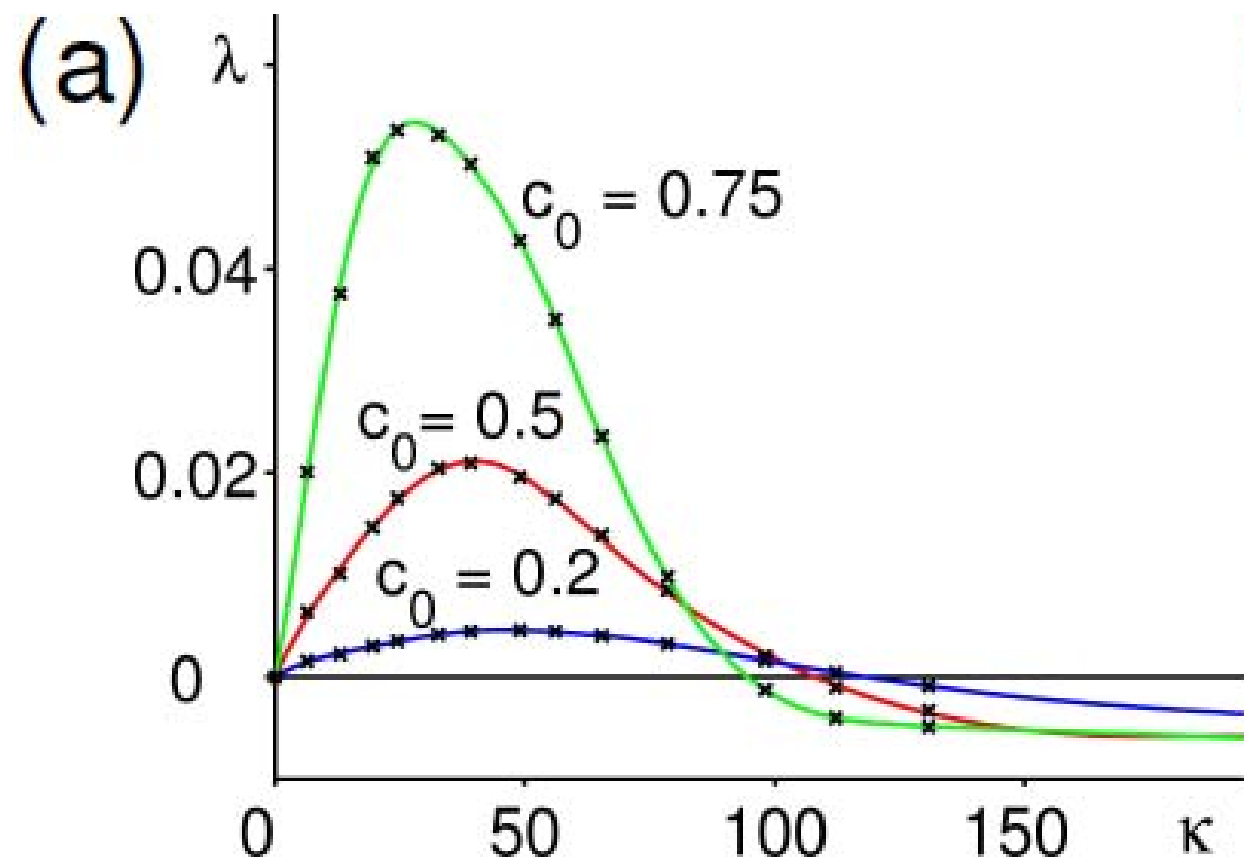
# Phase diagram



$c_0$ : FGFの初期濃度

$D$ : FGFの拡散係数

# 生成される枝の大きさの推定 (線形分散関係)

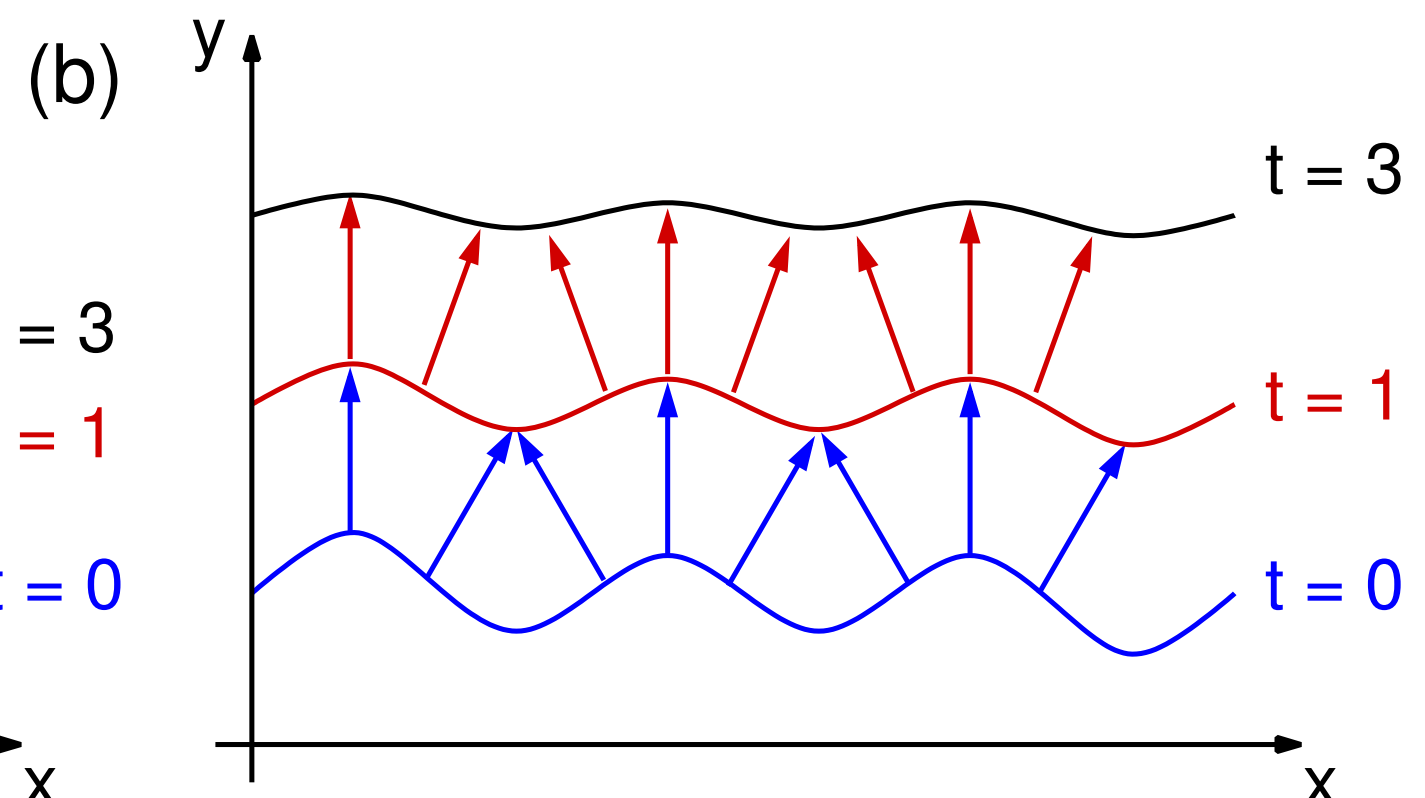
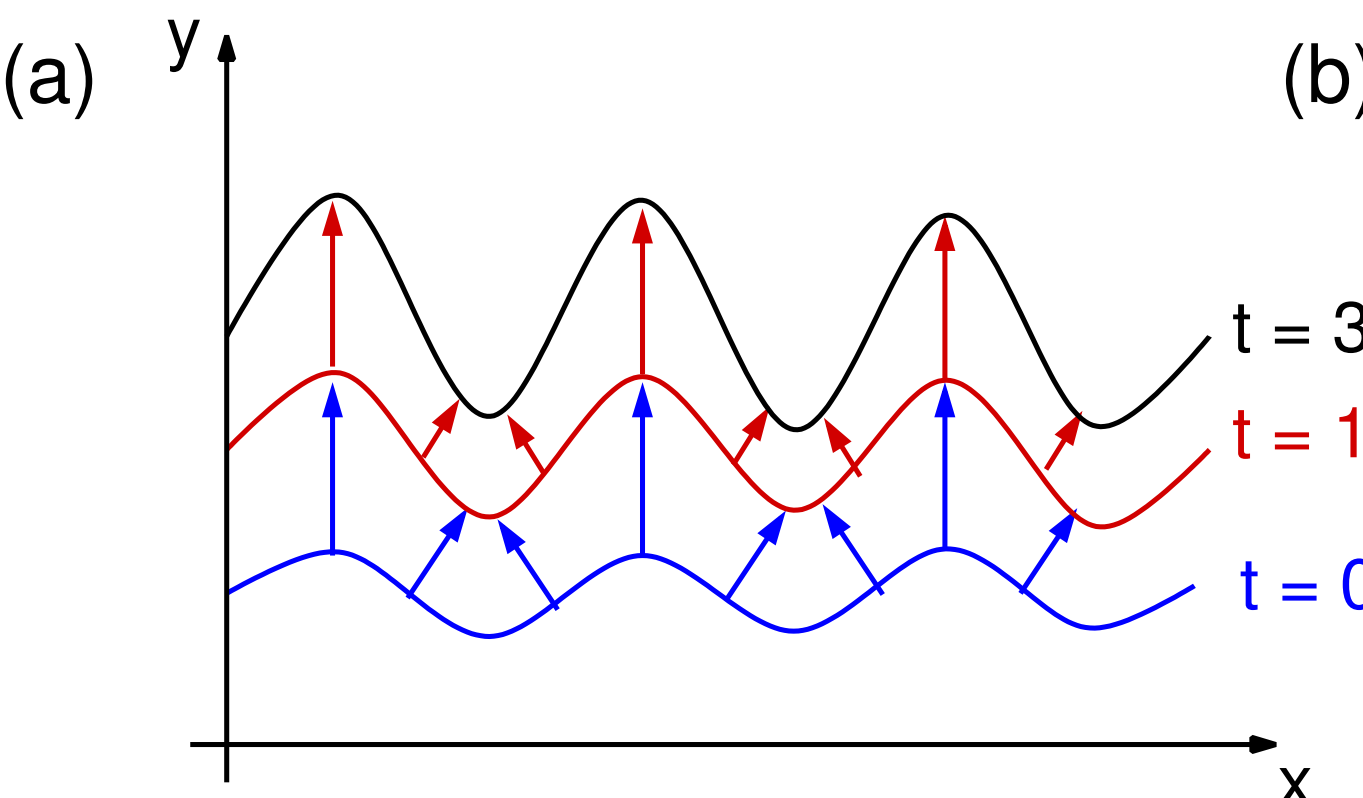


$c_0$ : FGFの初期濃度

$D$ : FGFの拡散係数

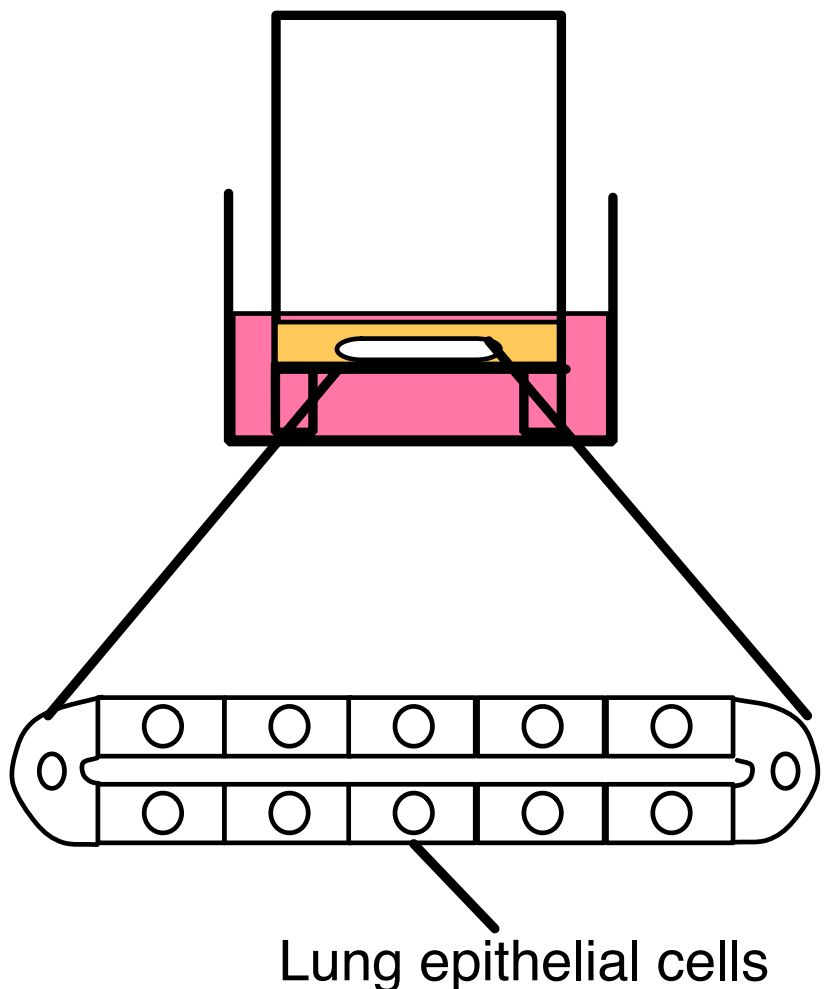
# 直感的説明：

## 2つの極端な場合

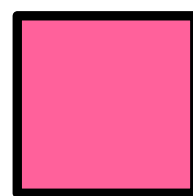
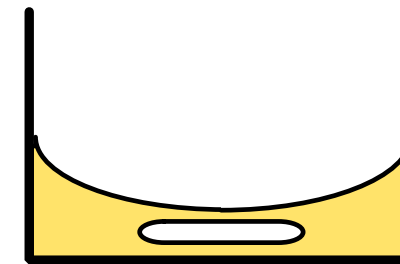


# 培養法を変える。

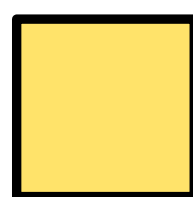
a



b



Culture medium  
(with FGF)

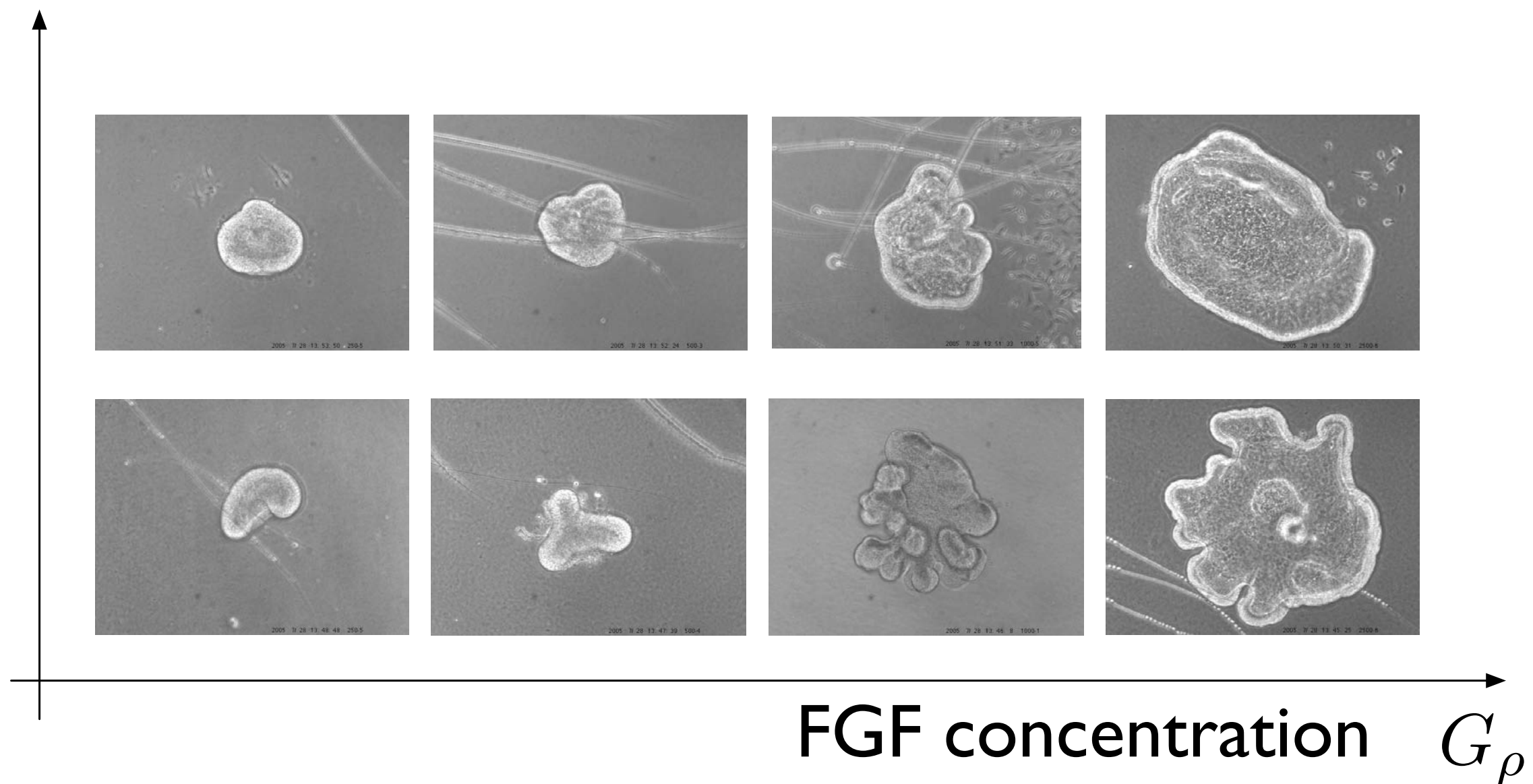


Matrigel

# Phase diagramを描け。

拡散係数

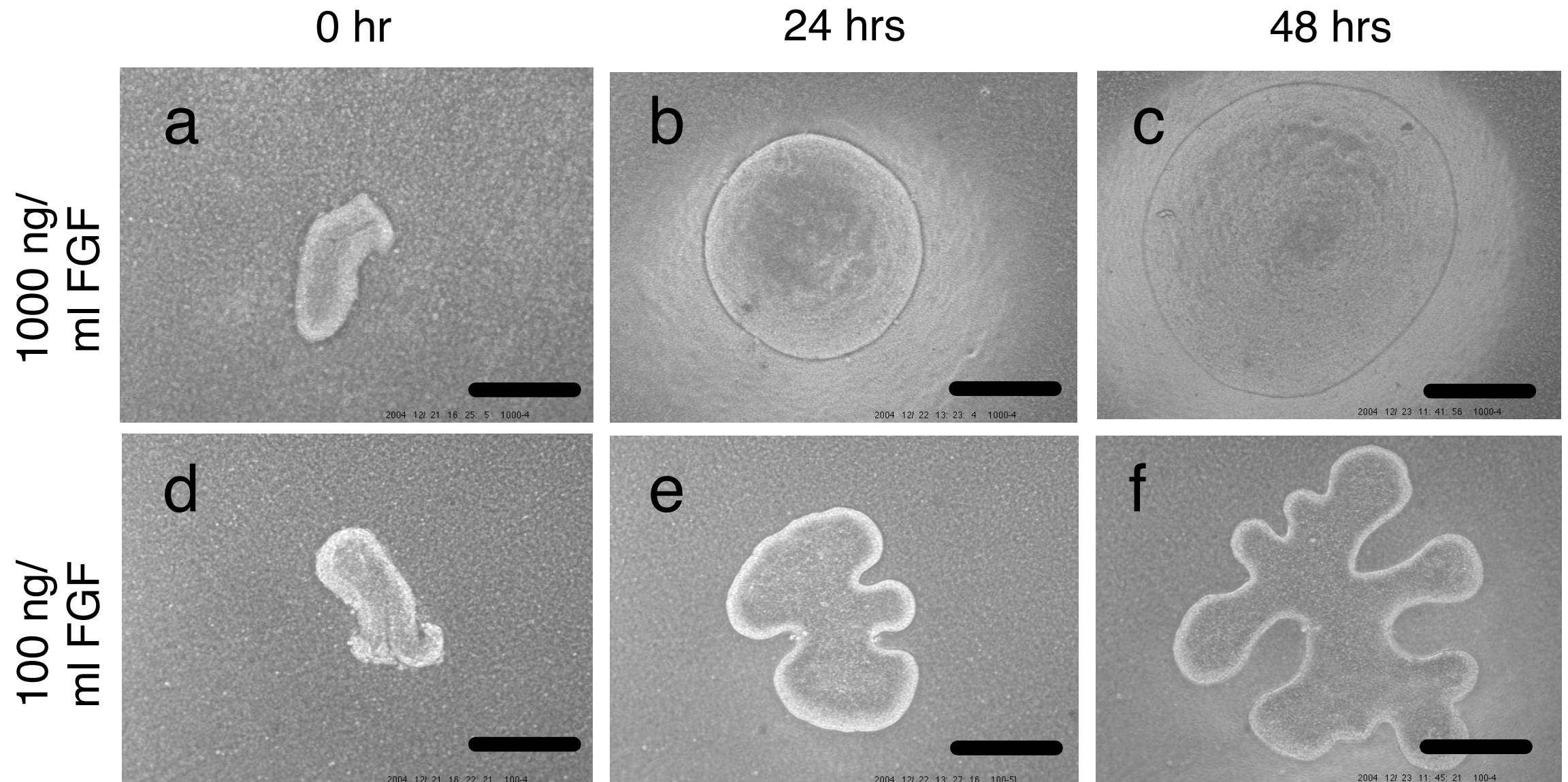
$1/G_c$



Hartmann & Miura, JTB 242, 862- (2007)

FGF濃度を  
思い切り上げると、  
枝分れでなく  
嚢胞が出来るはずだ。

… できた！

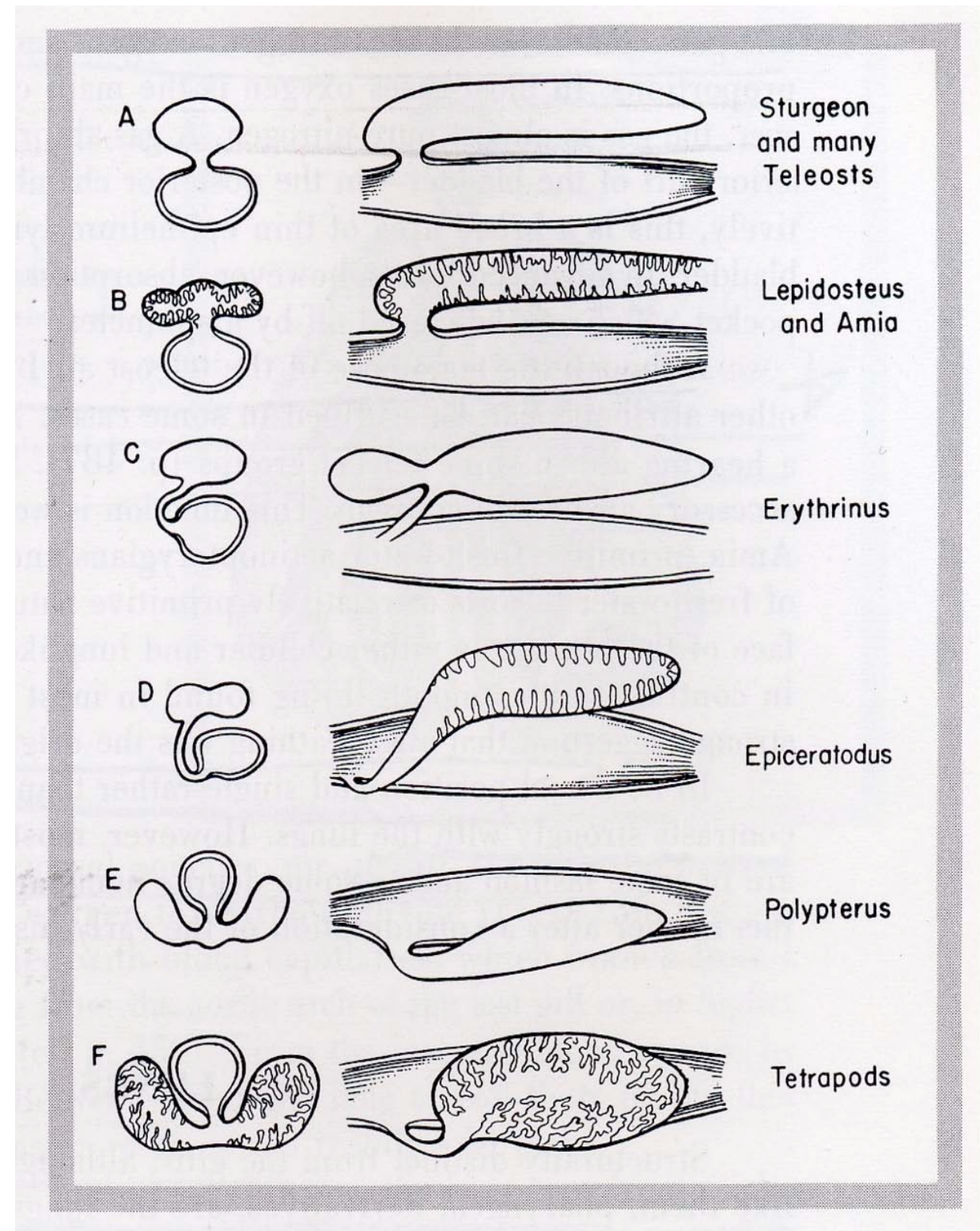


Hartmann & Miura, JTB 242, 862- (2007)

論文は出るけど  
所詮 vitro...

この結果で  
in vivo の現象を  
説明できなか?

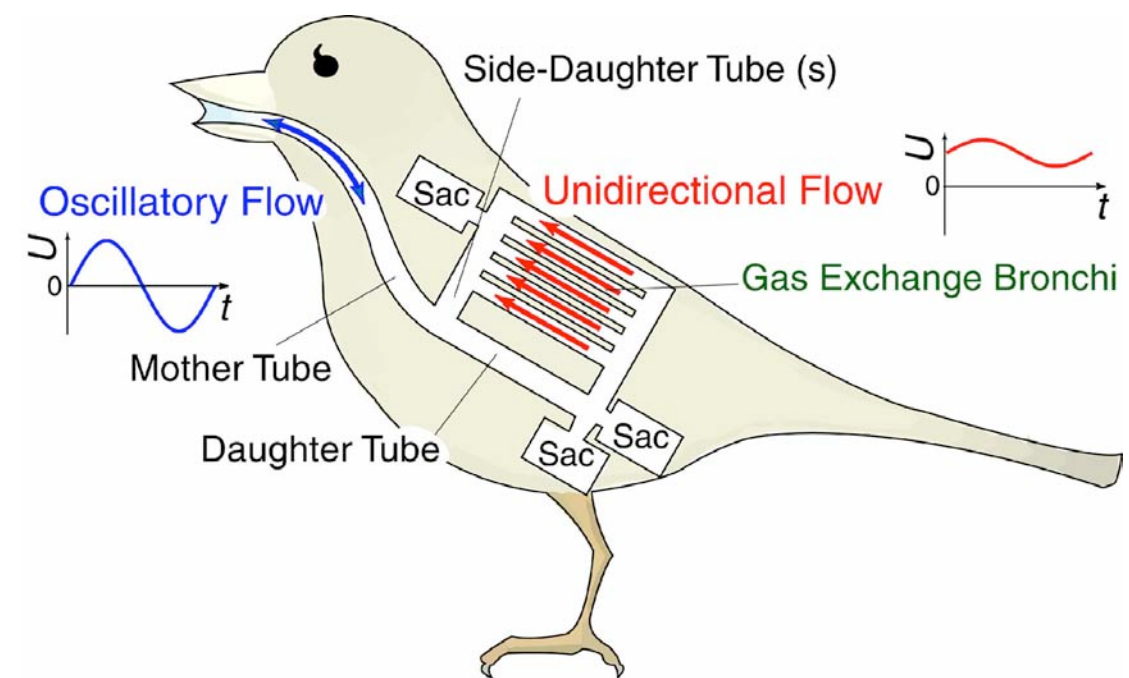
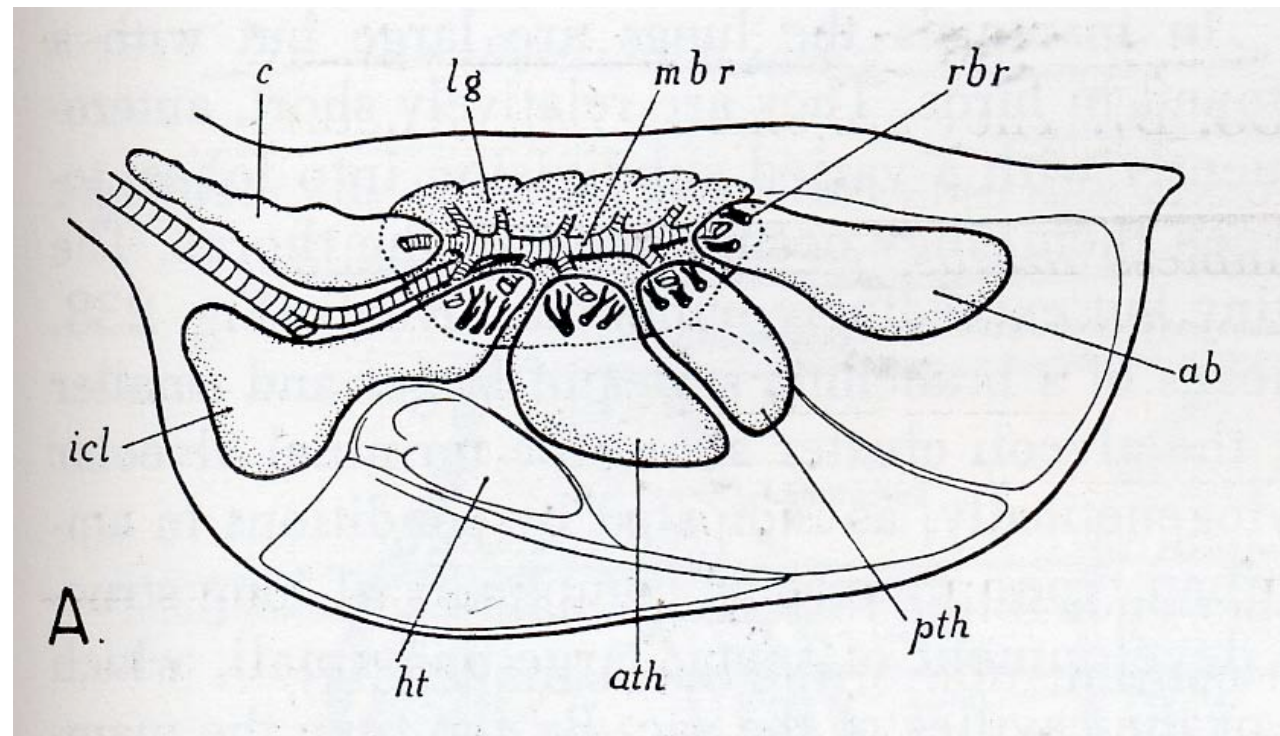
# 肺は浮き袋と相同



Romer "The Vertebrate Body" (1962)

# 鳥類肺の構造：

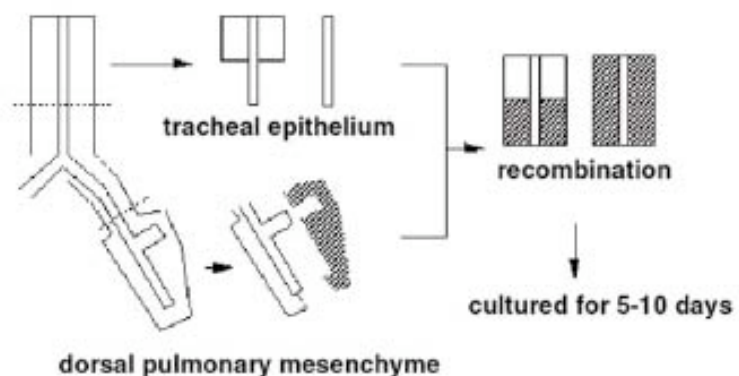
背側は分岐、腹側は囊胞



Romer “The Vertebrate Body” (1962)

# 構造の差は 間葉の性質から来る

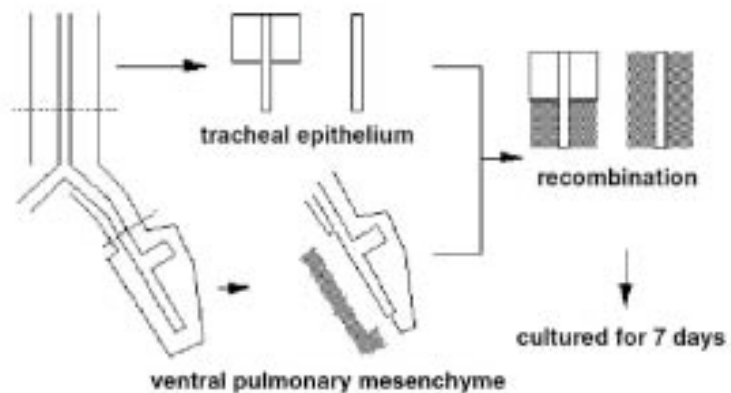
A



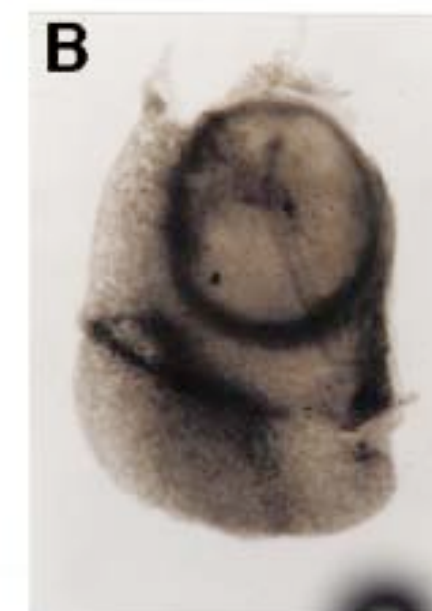
B



A



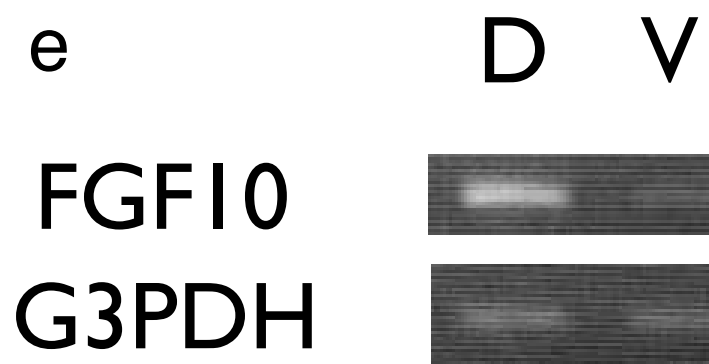
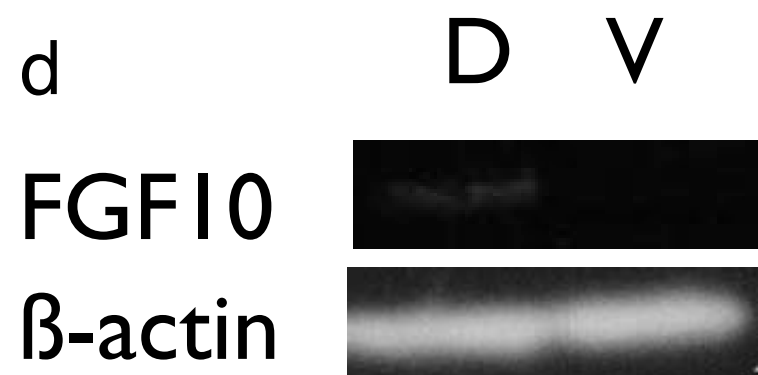
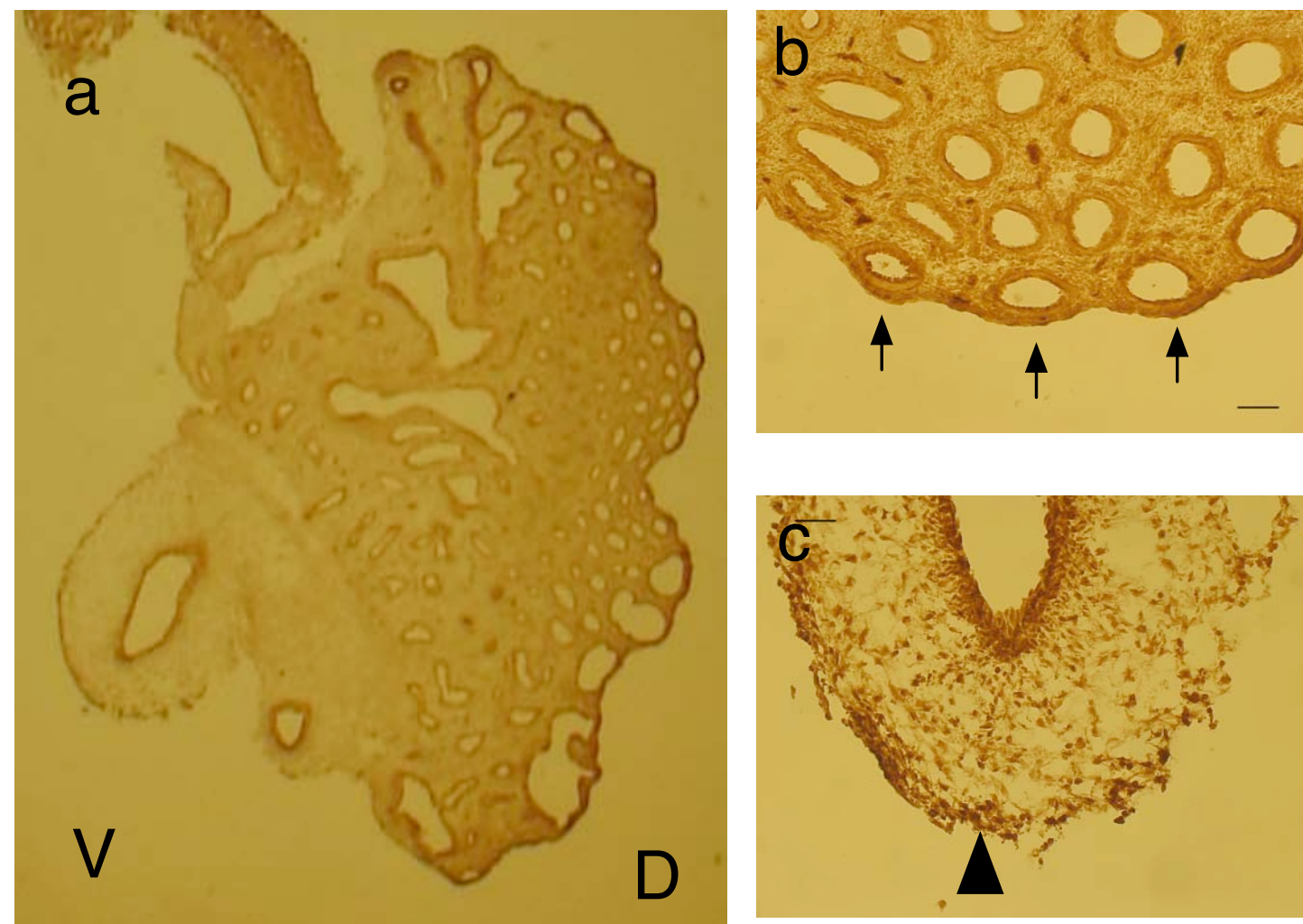
B



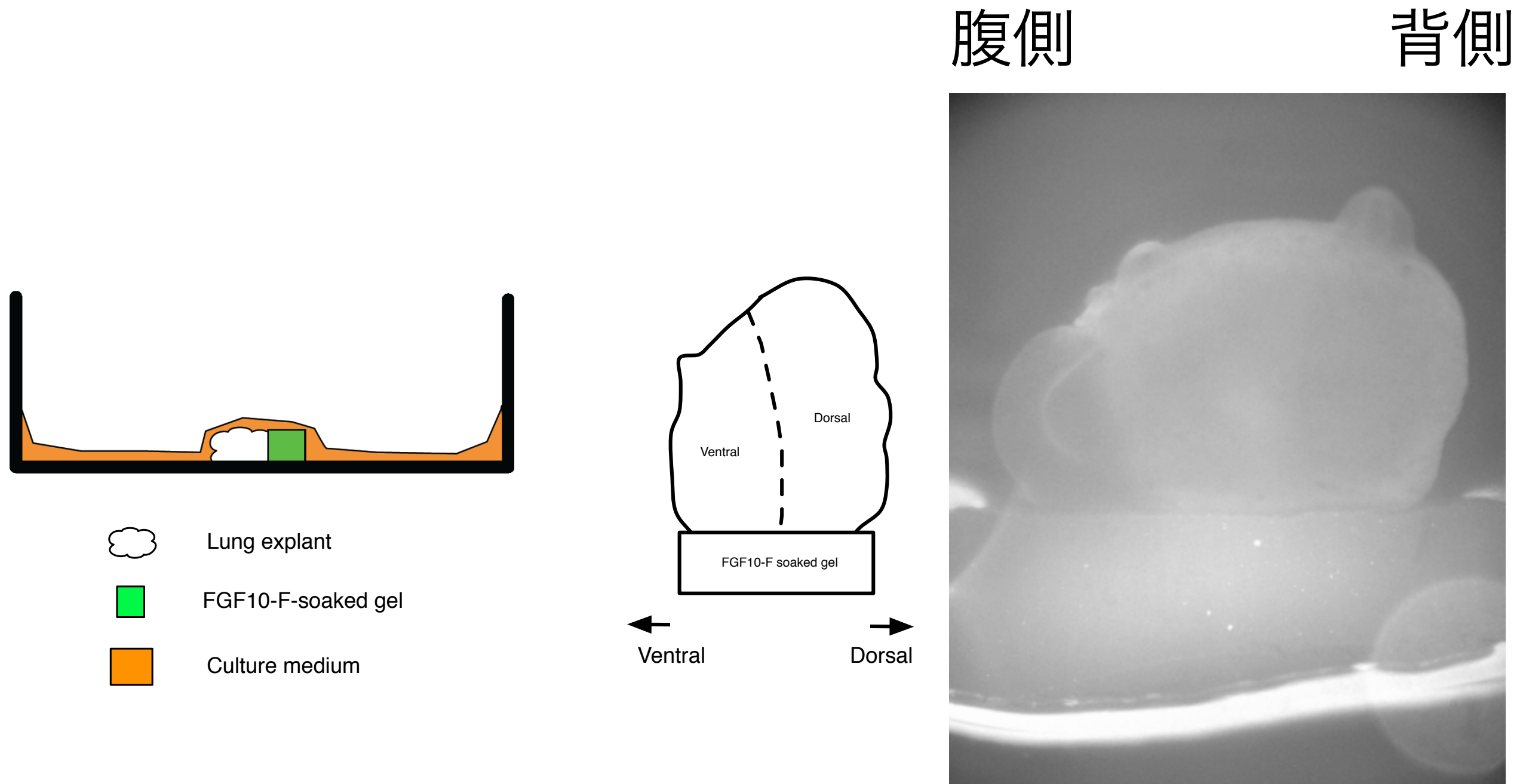
# 枝分れの代わりに 囊胞を作るには？

- FGFの濃度が非常に高い
- FGFの拡散係数が大きい

# ニワトリ肺でのFGFの分布



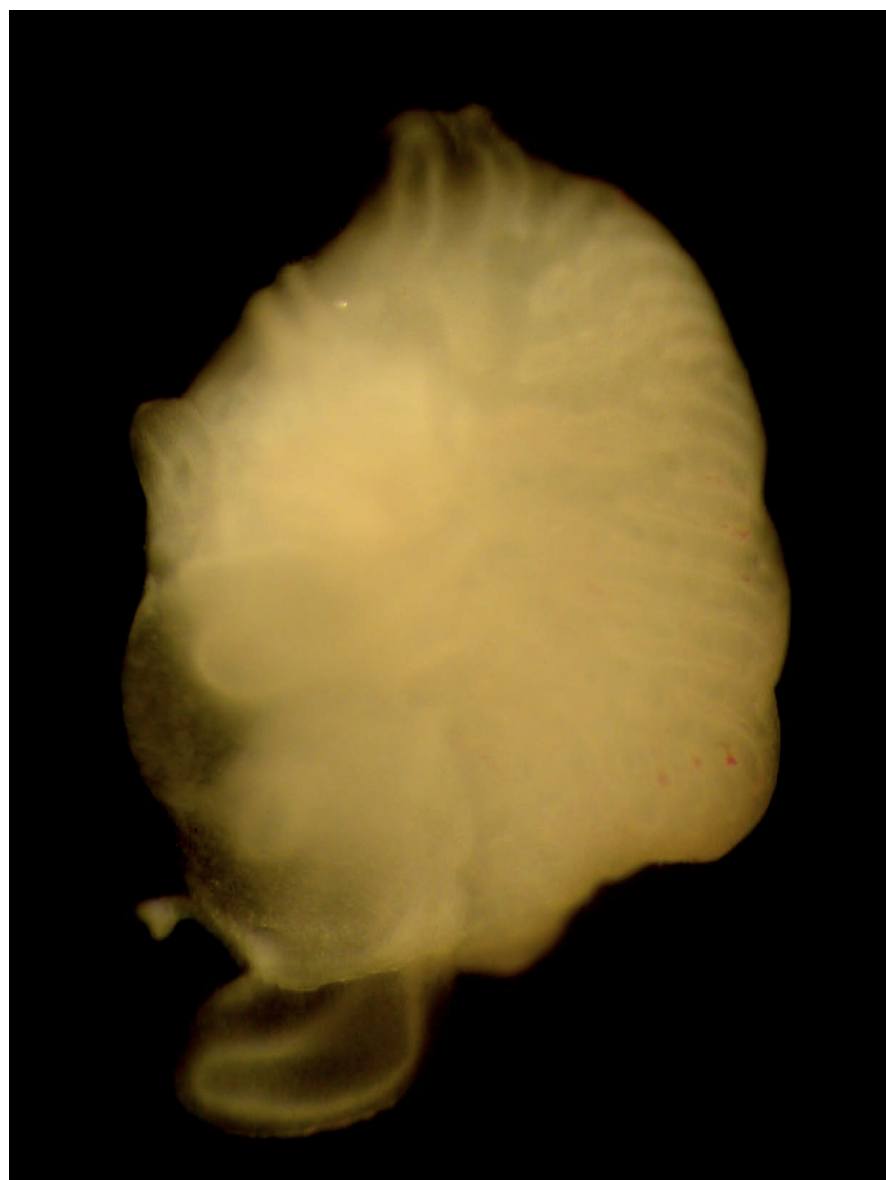
# ニワトリ肺でのFGFの拡散



拡散が早いらしい

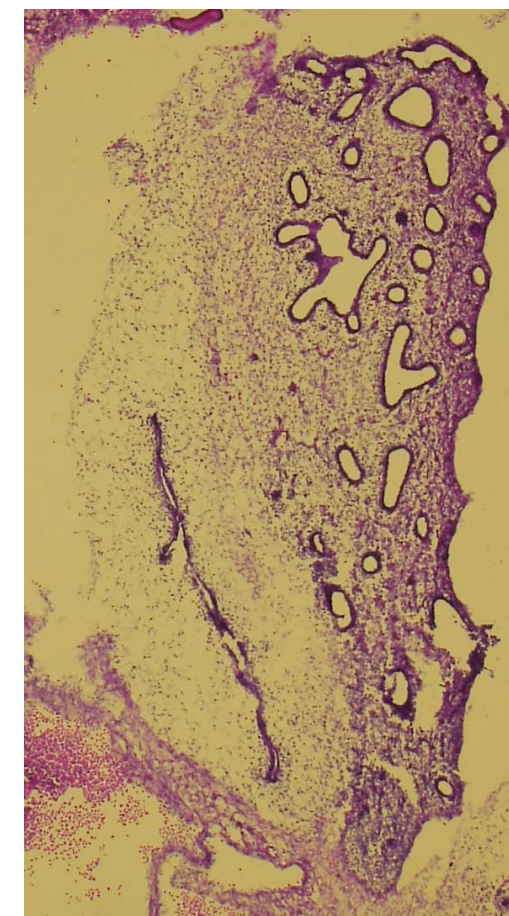
なぜ腹側で  
拡散が早いのか？

# 組織構造

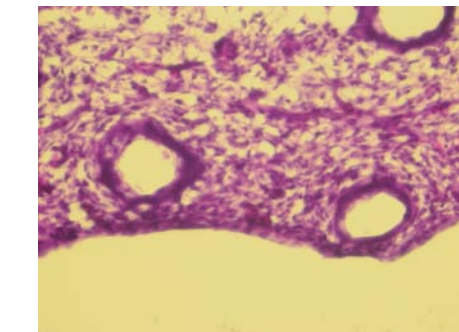


腹側

背側



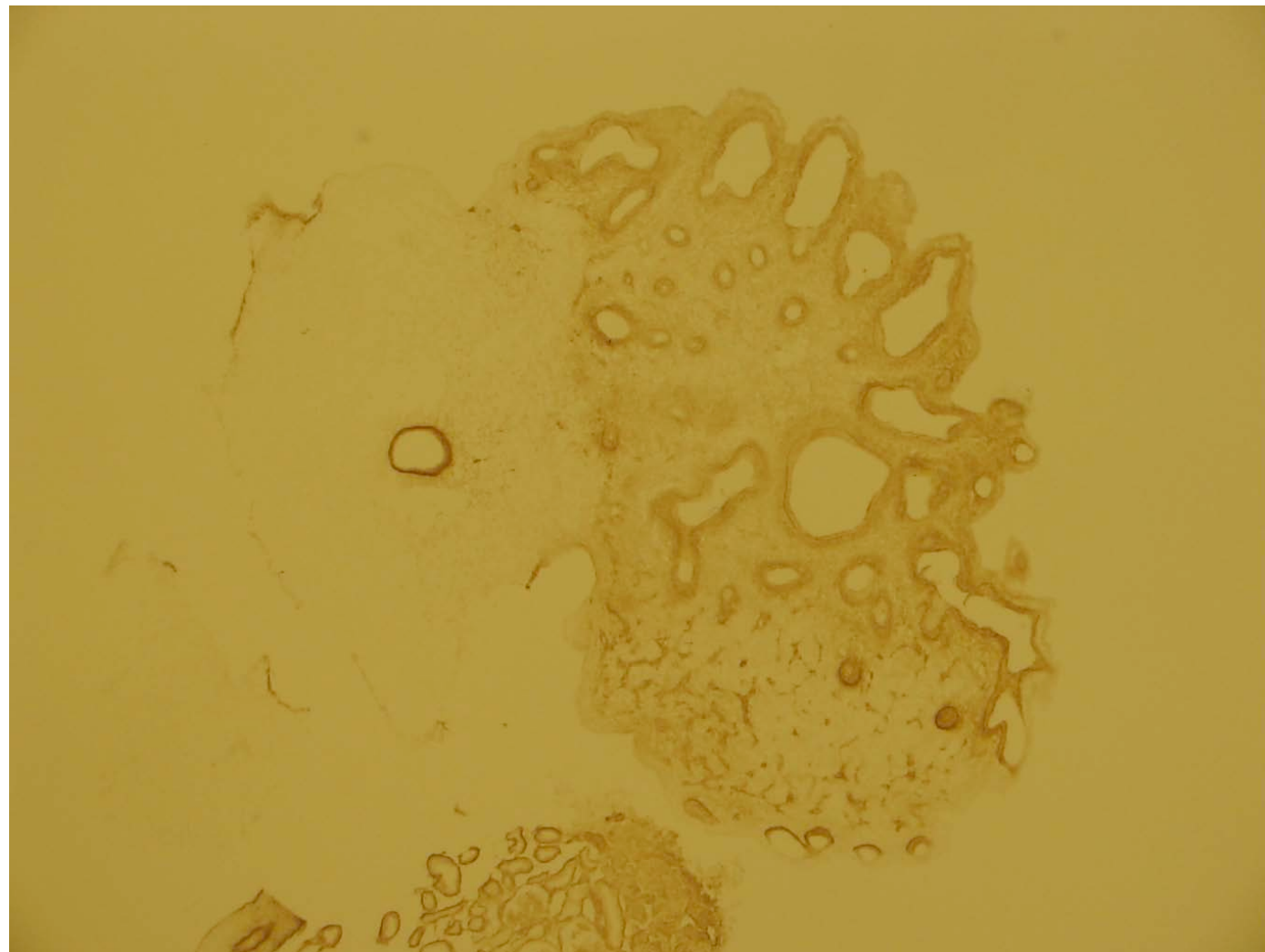
腹側



背側

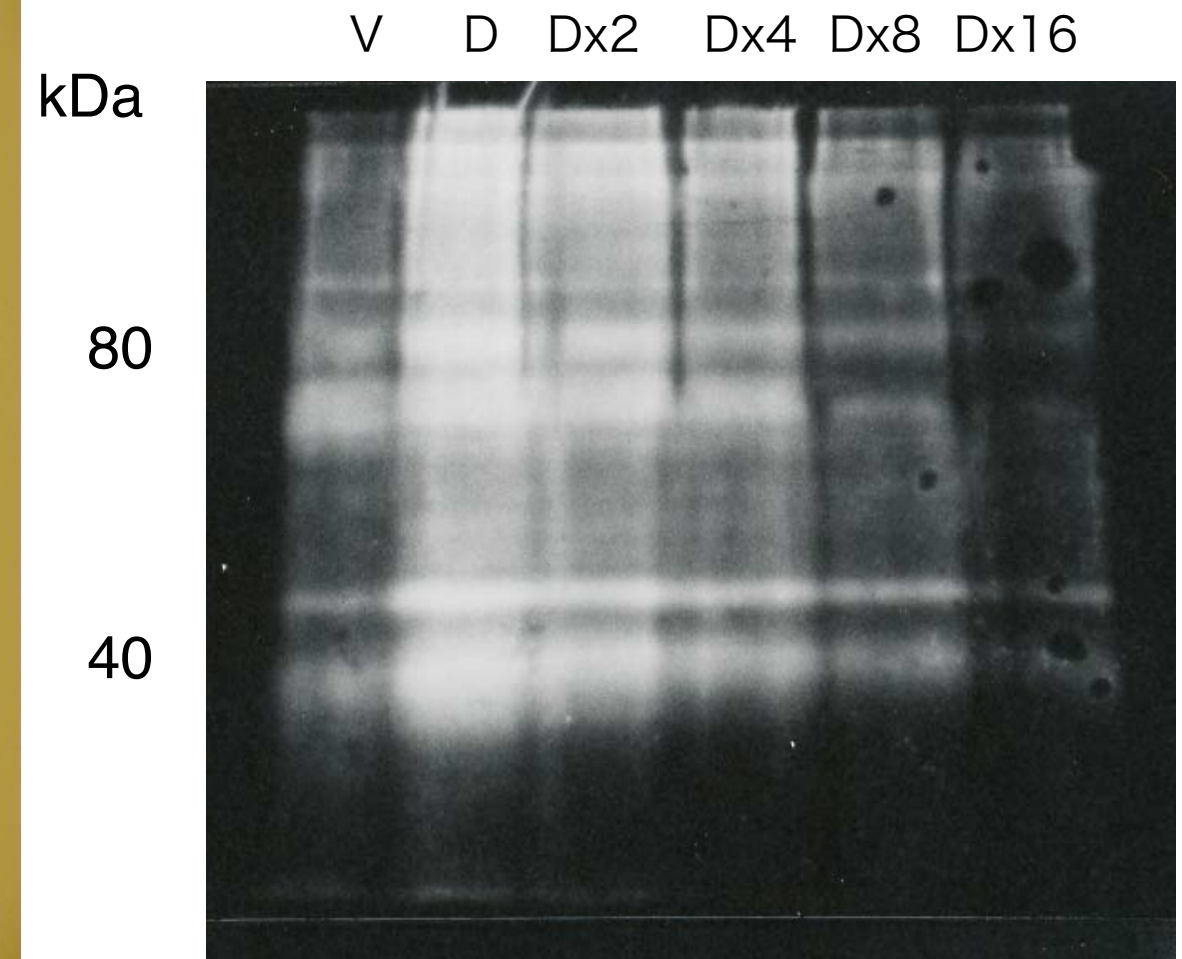
Miura et al., MOD I26, I60-(2009)

# 細胞外基質：HSPG



腹側

背側



鳥類肺に生じる  
囊胞構造の生成機構を  
in vitroのモデルの結果を  
外挿して理解した。

まだすつきりしない。

# In vivo の枝分れのメカニズムは？

